

CODEN:LUTFD2/(TFRT-5316)/1-063/(1984)

ENZYMATISK HYDROLYS AV CELLULOSA I TVÅFAS-SYSTEM

BERNT NILSSON

DEPARTMENT OF AUTOMATIC CONTROL
LUND INSTITUTE OF TECHNOLOGY
DECEMBER 1984

TILLHÖR REFERENSBIBLIOOTEKET
UTLÄNAS EJ

| | | |
|---|-----------------------|---|
| LUND INSTITUTE OF TECHNOLOGY DEPARTMENT OF AUTOMATIC CONTROL Box 118 S 221 00 Lund Sweden | | Document name Master thesis Date of issue December Document number CODEN:LUTFD2/(TPRT-5316)/1-063/(1984) |
| Author(s) Bernt Nilsson | | Supervisor Per Hagander Sponsoring organization |
| <p>Title and subtitle</p> <p>(Enzymatic hydrolysis of cellulose in two-phase systems.)</p> <p>Enzymatisk hydrolysis av cellulosa i tvåfas-system.</p> | | |
| <p>Abstract</p> <p>A comparison of experiment and publicized models of enzymatic hydrolysis of cellulose gives:</p> <p>The three models, that have been studied, predict batchwise experiments with satisfaction.</p> <p>The models do not give satisfactory predicts for a continuous process..</p> <p>The models were not good enough for wider studies of a continuous process, like for process engineering purpose or automatic control design.</p> <p>A Flow Injection Analysis-system with a dialysis probe is a good alternativ for on-line analysis of enzymatic hydrolysis, also for the purpose of automatic control.</p> <p>In a continuous two-phase process for production of glucose a SISO-regulator can be used for control of glucoseconcentration.</p> <p>Reconstruction should be used in controlling enzym activities in the process.</p> <p>Continuous time control desigh is enough, because the hydrolysis dynamics is slow.</p> | | |
| <p>Key words</p> | | |
| <p>Classification system and/or index terms (if any)</p> | | |
| <p>Supplementary bibliographical information</p> | | |
| <p>ISSN and key title</p> | | ISBN |
| Language Swedish | Number of pages 63 | Recipient's notes |
| Security classification | | |

ENZYMATISK HYDROLYS av CELLULOSEA

i

TVÄFAS-SYSTEM

en reglerteknisk och processteknisk förstudie

Bernt Nilsson

Examensarbete nov. 1984
Institutionen för Reglerteknik
Lunds Tekniska Högskola

Handledare:
Per Hagander, Reglerteknik
Carl-Fredrik Mandenius, Tillämpad Biokemi

SAMMANFATTNING.

Vid jämförelse av försök och publicerade modeller av enzymatisk hydrolysis har följande framkommit:

- att de tre modeller som studerats predikterar satsvisa förlopp tillfredsställande.
- att de i kontinuerliga processer är otillräckliga.

För en kontinuerlig process utgör inte modellerna någon bas, varken process-teknisk dimensionering eller reglerteknisk design.

Ett FIA-system med en dialysprobe utgör ett bra alternativ för on-line mätningar för reglering av enzymatisk hydrolysis.

I en kontinuerlig process för produktion av glukos kan en SISO-regulator användas vid regleringen av glukoskoncentrationen.

Rekonstruktion bör tillämpas vid reglering av enzymaktiviteter i processen.

Tidskontinuerlig design är tillräcklig eftersom hydrolysen har en långsam dynamik.

INNEHALLSFÖRTECKNING.

| | | |
|-----|---|------|
| 1. | Inledning. | |
| 2. | Enzymatisk Hydrolysis. | |
| 2.1 | Kvalitativ beskrivning. | 2.1 |
| 2.2 | Kvantitativ beskrivning. | 2.5 |
| 2.3 | Jämförelse av modeller och ett satsvis försök. | 2.15 |
| 3. | Tvåfas-system För Kontinuerlig Produktion. | |
| 3.1 | Processbeskrivning. | 3.1 |
| 3.2 | Fasval och fasjämvikter. | 3.3 |
| 3.3 | Processmodellering. | 3.4 |
| 3.4 | Jämförelse av processmodell och ett kontinuerligt försök. | 3.7 |
| 4. | Processreglering. | |
| 4.1 | Processreglering. En översikt. | 4.1 |
| 4.2 | Processanalyssystemet FIA-glukos. | 4.4 |
| 4.3 | Glukosreglering. | 4.6 |
| 4.4 | Enzymreglering. | 4.7 |
| 4.5 | Ett övergripande kontrollsysteem. | 4.9 |
| 5. | Processtekniska aspekter. | |

APPENDIX I Simnon-program ; Kinetikmodeller.
 II Simnon-program ; Processmodeller.

Nomenklatur.

Referenser.

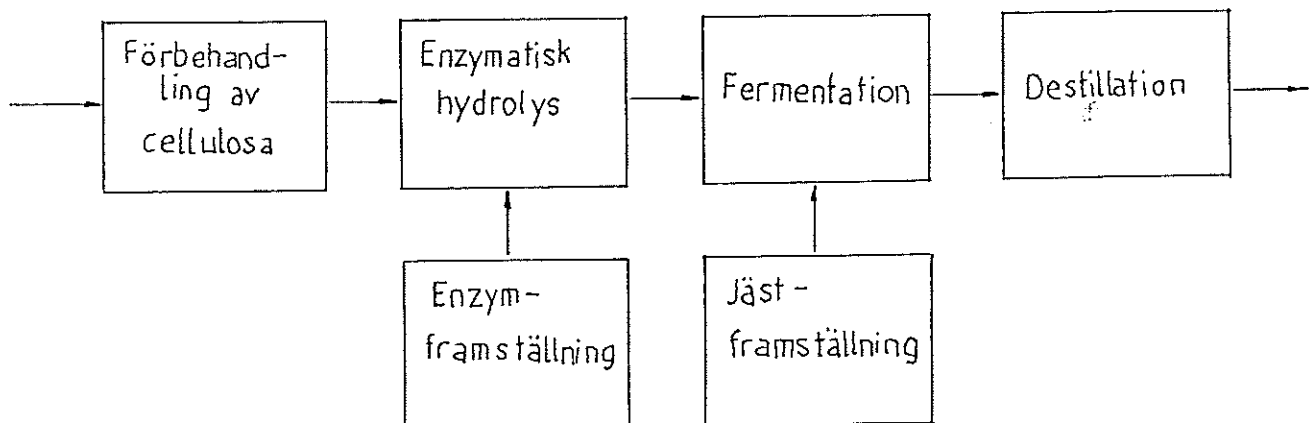
1. INLEDNING.

Att utnyttja en förnyelsebar råvarukälla, som cellulosa, utgör ett mycket lockande alternativ till traditionella råvaror. Enzymatisk hydrolysis av cellulosa till socker, tillsammans med fermentation, utgör de primära processerna för produktion av basrävaran etanol.

Både socker och etanol kan utnyttjas för vitt skilda ändamål samt för vidareförädling.

Etanol kan bl.a. användas som bränsle. Detta är utgångspunkten för ett större projekt vid Kemicentrum.

De delprocesser som studeras är förbehandling av cellulosa, enzymatisk hydrolysis, fermentation samt destillation.



Rapporten behandlar endast processteget enzymatisk hydrolysis, d.v.s. processtekniska och reglertekniska synpunkter på ett processalternativ där man utnyttjar ett tvåfas-system.

Detta arbete är ett led i ett samarbete mellan institutionen för Reglerteknik och avdelningen för Tillämpad Biokemi/Bioteknik.

Enzymatisk hydrolysis

2. ENZYMATISK HYDROLYS

2.1 KVALITATIV BESKRIVNING

Reaktionsmekanismer

Nedbrytningen av cellulosa med enzymer från *Trichoderma reesei* och andra mikroorganismer är av en komplex natur med flera reaktionsvägar. A.Humphrey m.fl. (1977, ref.9) studerade produktion av Cellprotein (Single Cell Protein) och föreslog följande reaktionsvägar (se fig. 2.1).

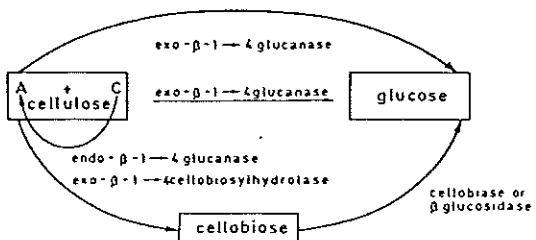


Fig. 2.1 Reaktionsvägar
enligt ref. 9.

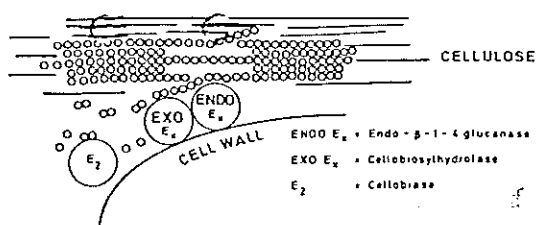


Fig. 2.2 Enzyematisk hydrolysis av
cellulosa enligt ref. 9.

Enzymsystemet är i huvudsak uppbyggt av tre viktiga enzymer; exo- β -1,4-glukanas, endo- β -1,4-glukanas samt β -glukosidas. Exo-cellulaset bryter ner cellulosan helt slumpmässigt, medan endo-cellulaset frigör cellobios från polymerändan av cellulosamolekylen. För att endo-cellulaset skall kunna arbeta effektivt krävs utrymme för enzymet dvs. denna nedbrytning är beroende av substratets natur.

En mer komplex mekanism är presenterad av Klyosov (1980) som introducerade ytterligare ett enzym, cellobiohydrolas, som arbetar tillsammans med endo-cellulase och producerar cellobios från polymerändan av cellulosan. (se fig. 2.3)

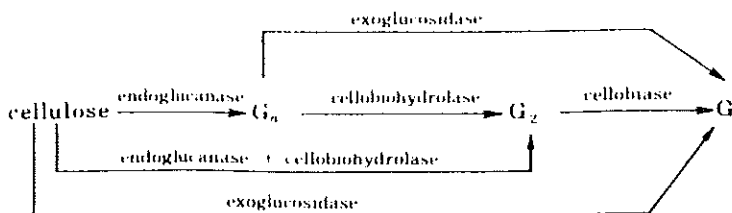


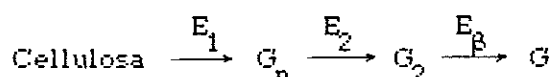
Fig. 2.3 Reaktionsvägar vid cellulosanedbryning enligt ref.4.

Enzymatisk hydrolysis

Det har dock visats sig att den mest betydande reaktionsvägen är den via cellobios (ref. 1 och 4).

Ytterligare ett intressant fenomen som gör en teoretisk beskrivning oerhört komplex är att enzymsystemet uppvisar synergism-effekter (ref. 16). Det vill säga enzymerna arbetar avsevärt effektivare tillsammans än var för sig.

Man kan alltså approximera nedbrytningen av cellulosa som om det vore en tre-stegs reaktion. Cellulosa klipps sönder till kortare cellulosakedjor (glukosoligomerer) som tuggas sönder till cellobiosmolekyler, som i sin tur klyvs av ett tredje enzym till glukosmonomerer.



Inhibering

Som de flesta enzymreaktioner finns här betydande produktinhiberingar. Cellobios har en kraftig inverkan på cellulosahydrolysen. Glukos inhiberar cellulosahydrolysen avsevärt mindre än cellobios men inverkar också på cellobioshydrolysen.

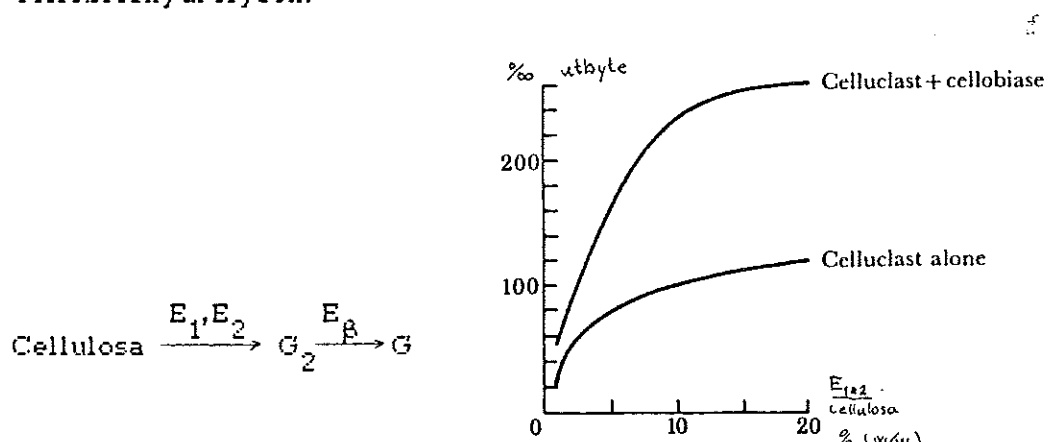


Fig. 2.4 Hydrolys av Avicel med Cellulast och cellobias vid olika koncentrationer. 20% cellulosa, pH 5, temperatur 50°C, reaktionstid på 24 h, Cellobiaskoncentration på 20% av cellulaskoncentrationen (ref. 4).

Vi ser direkt att då β-glukosidase är det hastighetsbestämmande enzymet skjunker utbytet drastiskt. Humphrey m. fl. (ref. 17) har gjort omfattande studier av inhibering vid cellulosahydrolysis. De fann att cellobios är ca. 14 gånger så inhiberande som glukos vid cellulosahydrolysis.

Enzymadsorption

Flera författare (ref 1 och 5) har studerat hur cellulaser adsorberas på

Enzymatisk hydrolysis

cellulosa. Både irreversibel som reversibel adsorption har föreslagits men sanningen är nog att båda processerna kan äga rum. Blanch m. fl. (ref. 5) föreslog att man kunde beskriva adsorptionen med en Langmuir isoterm och att denna adsorption var reversibel.

| | Low enzyme loading | High enzyme loading |
|----------------------|--------------------|---------------------|
| E_0 | 1.0 FPU/ml. | 4.0 |
| S_0 | 10 ¹⁰ | 10 |
| $E_0(1 - S_0)/S_0$ | 9 FPU/g rice straw | 36 |
| Free enzyme (FPU/ml) | | |
| Time 20 h | 0 | 0.26 |
| 22.8 h | 0.23 (0.17) | 0.50 (0.61) |

Tabell 2.5 Reversibel adsorption enligt ref. 5.

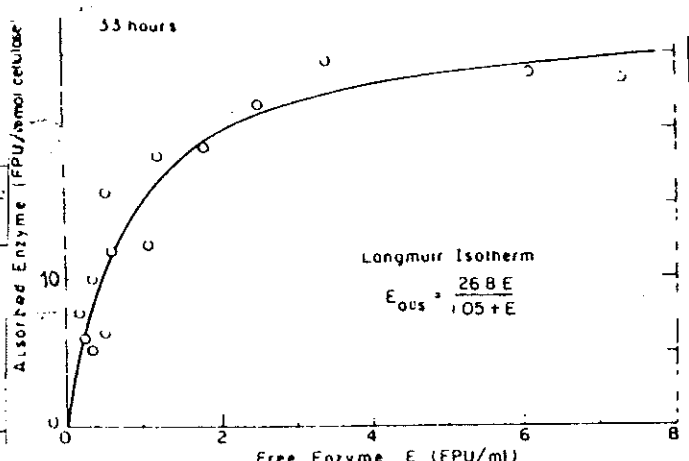


Fig. 2.6 Adsorptionsisoterm för cellulaser på cellulosa.

Likaledes gjorde Dietrichs m. fl. (ref. 1) och de tog fram adsorptionsdata för olika substrat och cellulaser, se tabell 2.7 nedan.

$$E_a = \frac{E_{\max} * E}{E + 1/K_a}$$

| Source of enzymes | Substrate, conditions | $E_{a,\max}$ (g/g) | K_a (l/g) |
|-------------------------|-----------------------|--------------------|-------------|
| Trichoderma reesei | Avicel, 40°C, pH 4.5 | 0,06 | 0,5 |
| Penicillium funiculosum | Avicel 40°C, pH 5 | 0,05-0,1 | ca. 1 |
| Trichoderma reesei | amorphous cellulose | 0,3 | 1,7 |

Tabell 2.7 Adsorptionsdata för olika cellulaser (ref. 1)

Det har också rapporterats (ref. 1) att β -glukosidase inte adsorberas på cellulosa.

Enzyminaktivering

Det är ett väldigt faktum att enzymer förlorar aktiviteten under reaktionen. Detta beror på många faktorer såsom termodynamisk resp. kemisk protein denaturering, irreversibel adsorption, proteases interaktion samt mikrobiell contamination (ref. 1).

Det senare kan minimeras genom tillsättning av Natriumazid. Temperaturer över 50°C ger en avsevärd enzymdenaturering (ref. 16). Även pH är en

Enzymatisk hydrolys

väsentlig parameter för enzymstabiliteten. Vid temperaturen 37°C och pH 5 observerades en anmärkningsvärd stabilitet (ref. 16). I tvåfas-systemet Dextran/Polyetenglykol har enzymsystemet en lika god stabilitet för pH 5 och temperaturer upp till 50°C (ref. 10).

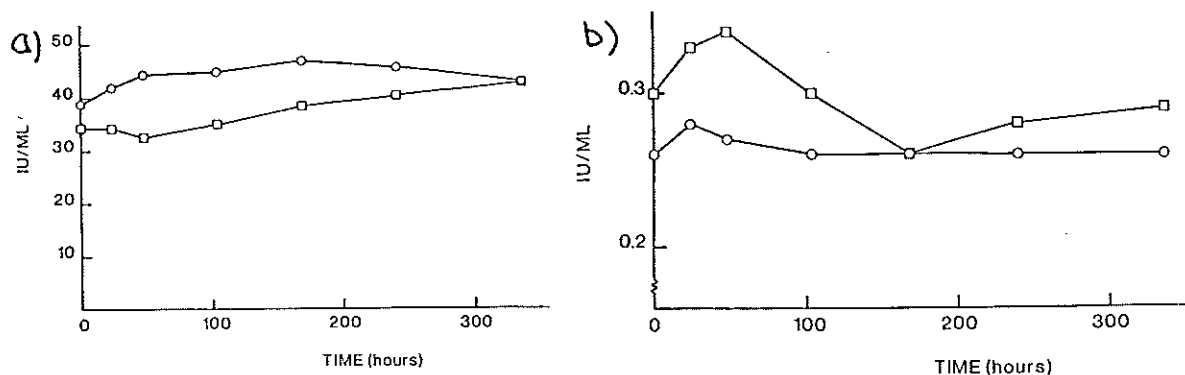


Fig. 2.8 Enzymaktivitet i ett tvåfas-system Dextran/Polyetenglykol vid pH 5 och 50°C a) endo- β -glukanase b) β -glukosidase

Med detta som bakgrund är den mest betydande deaktiveringsparametern irreversibel adsorption.

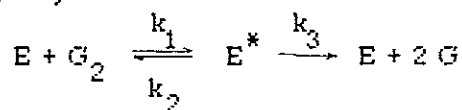
Enzymatisk hydrolysis

2.2 KVANTITATIV BESKRIVNING

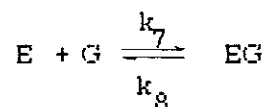
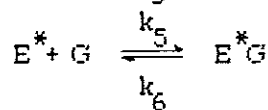
Nedan beskrivs tre modeller för enzymatisk hydrolysis av cellulosa. Modellerna har en fysikalisk-kemisk bakgrund och har hämtats ur publicerade artiklar. Modellerna har simulerats m.h.a. simuleringspaketet SIMNON (ref. 19). Kapitlet avslutas med en jämförelse av modellerna med experimentella data. Vi börjar dock med att ta fram ett kinetikuttryck för cellobioshydrolysen.

Cellobioshydrolysis

Glukos bildas då β -glukosbindningen i cellobiosmolekylen klyvs. Denna klyvning görs av ett enzym, cellobias eller β -glukosidas. Ladisch m. fl. (ref. 11) föreslog följande reaktion vid cellobioshydrolysis



och följande inhiberingsreaktioner (nonkompetitiv resp. kompetitiv)



vilket kan beskrivas med vanlig enzymkinetik.

$$\begin{aligned} \frac{dG}{dt} &= 2k_3 E_{\text{tot}} G_2 / \left[\frac{k_2 + k_3}{k_1} \left(1 + \frac{G}{k_8/k_7} \right) + G_2 \left(1 + \frac{G}{k_6/k_5} \right) \right] \\ &= k_b E_b G_2 / \left[G_2 \left(1 + \frac{G}{K_{i,1}} \right) + K_m \left(1 + \frac{G}{K_{i,2}} \right) \right] \end{aligned}$$

$$\text{där } k_b = 2k_3, K_{i,1} = k_6/k_5, K_{i,2} = k_8/k_7, K_m = (k_2 + k_3)/k_1$$

I samma artikel är också några värden på konstanterna publicerade.

$$\begin{aligned} k_b &= 116 \mu\text{mol glukos/min,mg protein} = 1.25 \text{ g glukos/h,mg protein} \\ K_m &= 2.5 \text{ mM} = 0.856 \text{ g cellobios/liter} \\ K_{i,1} &= 15 \text{ mM} = 2.7 \text{ g glukos/liter} \\ K_{i,2} &= 2 \text{ mM} = 0.36 \text{ g glukos/liter} \end{aligned}$$

Enzymatisk hydrolysis

Figuren nedan består av tre kurvor direkt tagna från de citerade författarna samt två simuleringar av motsvarande kurvor. I modellen användes enheten mg/l som ett mått på enzymmängden. En mer adekvat sätt är att använda enzymaktivitet, vilket enkelt går att modifiera genom att kalibrera om reaktionskonstanten, k_b .

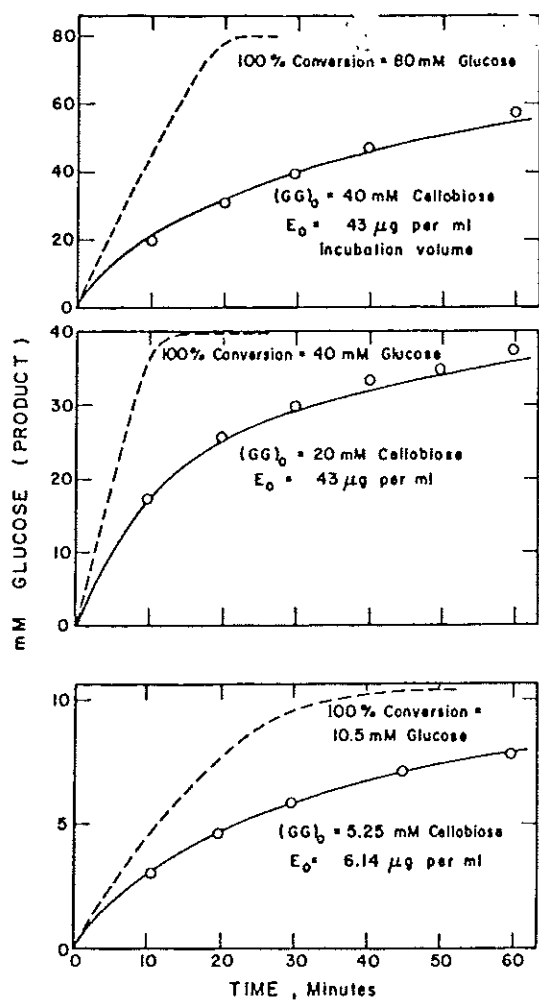


Fig. 2.9 Tidsprofiler hos cellobioshydrolys vid pH 4.75 och 50°C

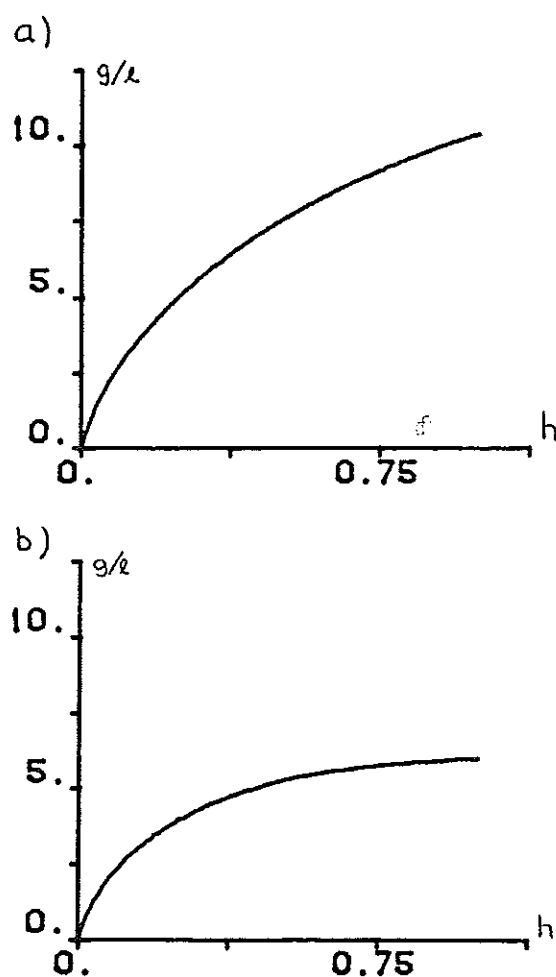


Fig. 2.10 Simulering av cellobioshydrolys enligt ref. 11. 43 µg β-glukosidas samt initial konc.
 a) 40 mM eller 13.7 g/l
 b) 20 mM eller 6.8 g/l
 (OBS! gram glukos/liter som funktion av tiden (h))

Enzymatisk hydrolysis

'Shrinking site'-modellen

Denna modell föreslog A.Humphrey m.fl. (ref. 9) i samband med att de studerade produktionen av SCP (Single cell protein). De antog att cellulosahydrolysen är av första ordningen m.a.p. adsorberad enzym och av antalet aktiva centra för hydrolysis samt även en inhiberingsterm.

$$\frac{dC_x}{dt} = -k_1 \Theta \xi i$$

där k_1 = en reaktionshastighetskonstant

Θ = antalet centra = antalet centra/ytanhet * ytan = ηS

ξ = adsorberad enzym = Langmuirisotermen = $k' SE_x / (\alpha + E_x)$

i = inhiberingsterm = $I_2 / (I_2 + c)$ (kompetitiv inhibering där I_2 är en inhiberingskonstant)

D.v.s

$$\frac{dC_x}{dt} = -k_1 \eta S * \left[\frac{k' S E_x}{\alpha + E_x} \right] * \left[\frac{I_2}{I_2 + c} \right]$$

$$= -K_2 S^2 \left[\frac{E_x}{\alpha + E_x} \right] \left[\frac{I_2}{I_2 + c} \right]$$

där $K_2 = k_1 \eta k'$

Om vi nu antar att cellulosan är sfärisk så har den ytan S , $S = 4\pi R^2 n$ (R = partikelradie, n = antalet partiklar), samt att koncentrationen C_x , $C_x = 4/3 \pi R^3 n \rho$ (ρ = cellulosadensiteten), så ger detta

$$\frac{dC_x}{dt} = -K_3 C_x^{4/3} * \left[\frac{E_x}{\alpha + E_x} \right] * \left[\frac{I_2}{I_2 + c} \right]$$

$$\text{där } K_3 = K_2 * 16 * (3/4)^{4/3} * \pi^{2/3} * n^{2/3} * \rho^{-4/3}.$$

Enzymatisk hydrolysis

Simulering av denna differentialekvation tillsammans med modellen för cellobioshydrolysis kan ses nedan. Vi förutsätter alltså att all hydrolyserad cellulosa övergår till cellobios innan glukos bildas.

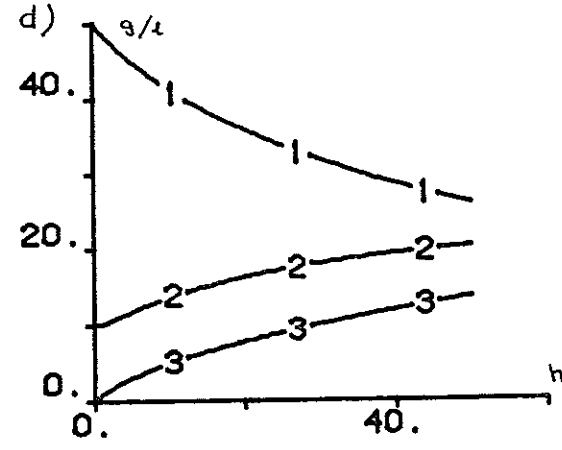
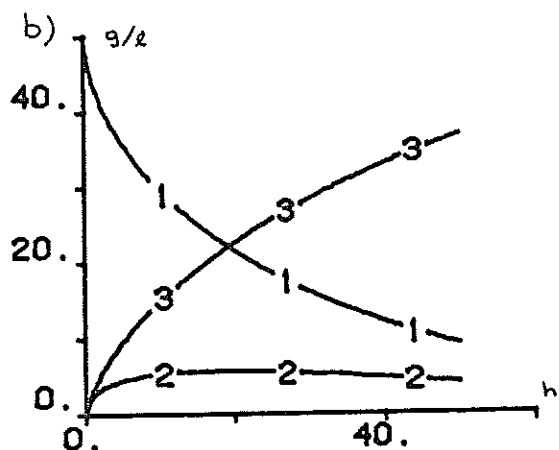
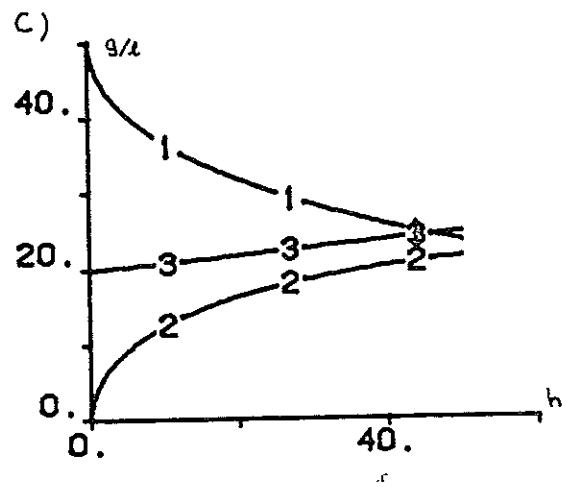
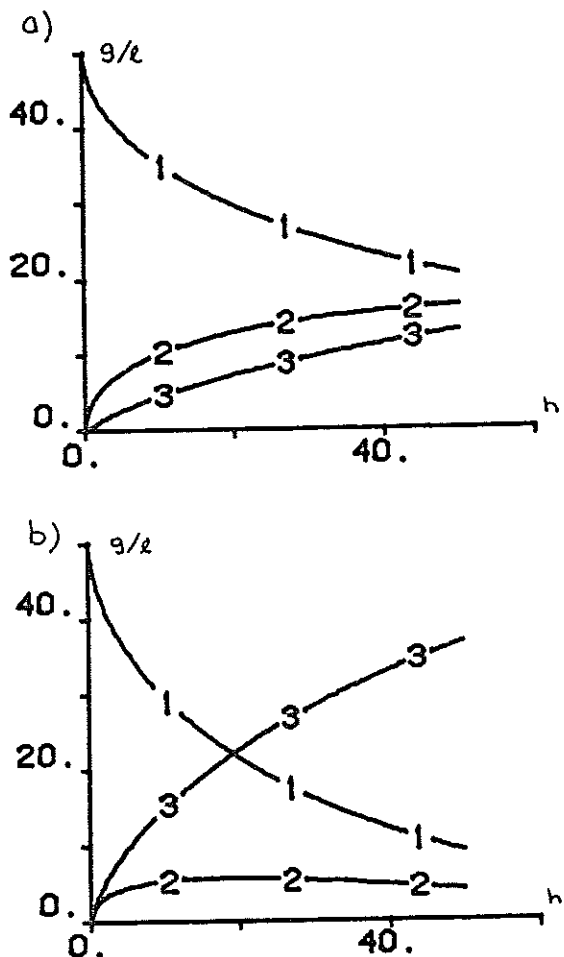
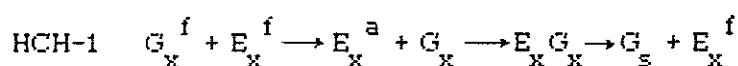
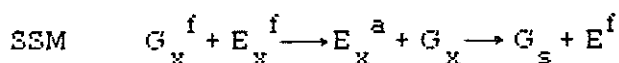


Fig. 2.11 Simulering av SEM med initial koncentrationerna:
cellulosa 50 g/l, Celluclast 2 FPU/ml, β -glukosidas 20 IU/l
(1:Cellulosa , 2:Celllobios , 3:Glukos)
a) som ovan
b) som ovan utom β -glukosidas 2 IU/ml
c) som ovan samt en glukoshalt på 20 g/l
d) som ovan samt en cellobioshalt på 10 g/l

Enzymatisk hydrolysis

'HCH-1'-modellen

HCH står för initialerna för upphovsmännen Holtzapple, Caram och Humphrey. Detta är en vidarutveckling av ESM där vi antog att reaktionen var proportionell m.a.p. adsorberat enzym och aktiva centra för hydrolysis. I HCH-1 har man gått ett steg längre och säger att det inte räcker med detta utan ytterligare en komplexbildande reaktion är nödvändig.



Jämte dessa kemiska och fysikaliska reaktioner sker olika inhiberande reaktioner (se fig. 2.12).

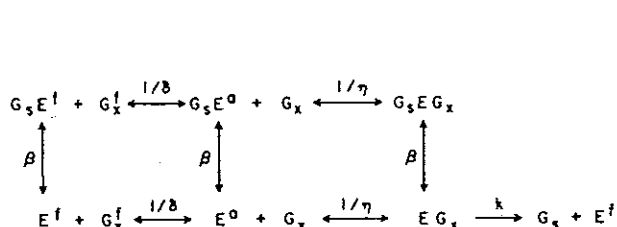


Fig. 2.12 Reaktionsmekanism för HCH-1 modellen.

Om vi startar med att säga att reaktionen är av första ordningen m.a.p. enzym-substratkoplexet:

$$\frac{dG}{dt} = k E G_x$$

Konstanterna i modellen fås vid jämvikt,

$$1/\delta = E^a / (E^f G_x^f)$$

$$1/\eta = E G_x / E^a$$

$$\beta = G_s E^f / (E^f G_s) = G_s E^a / (G_s E^a) = G_s E G_x / (G_s E G_x)$$

Enzymatisk hydrolysis

En enzymbalans ger då

$$E^f = \frac{E_0}{(1+\beta G_s)(1+(1/\delta+1/(\delta\eta))G_x^f)}$$

och en cellulosalans ger

$$G_x^f = \frac{G_x}{(1+\varepsilon(1+\beta G_s)(1/\delta+1/(\delta\eta))E^f)}$$

där ε är antal upptagna hydrolyscentra.

Reaktionsuttrycket kan nu skrivas

$$\frac{dG_x}{dt} = kEG_x = k/\eta E^\alpha G_x^f = k/(\delta\eta) E^f G_x^f$$

eller om vi gör om det lite

$$\frac{dG_x}{dt} = \frac{\kappa G_x E}{\alpha + \Phi G_x + \varepsilon E} \left[\frac{1}{1 + \beta G_s} \right]$$

där konstanterna ovan är

$$\kappa = k/(\eta+1)$$

$$\alpha = \eta\delta/(\eta+1)$$

$$\Phi = \frac{\text{fria antalet centra}}{\text{totala antalet centra}} = \frac{G_x - \alpha - \varepsilon E + \sqrt{(G_x - \alpha - \varepsilon E)^2 + 4\alpha G_x}}{2G_x}$$

Författarna har gjort omfattande studier och erhållit följande parametrar vid resp. parameteranpassning

| | κ | α | ε | β | fel% |
|------------------|----------|----------|---------------|---------|------|
| Tidsprofil | 26.3 | 8.87 | 36.8 | 0.45 | 9.98 |
| Medelhastighet | 43.6 | 16.2 | 67.8 | 0.4 | 5.15 |
| Initialhastighet | 11.3 | 2.49 | 49.1 | - | 7.72 |

Enzymatisk hydrolysis

HCH-1 modellen har simulerats nedan med de parametrar som erhölls för tidsprofilanpassning.

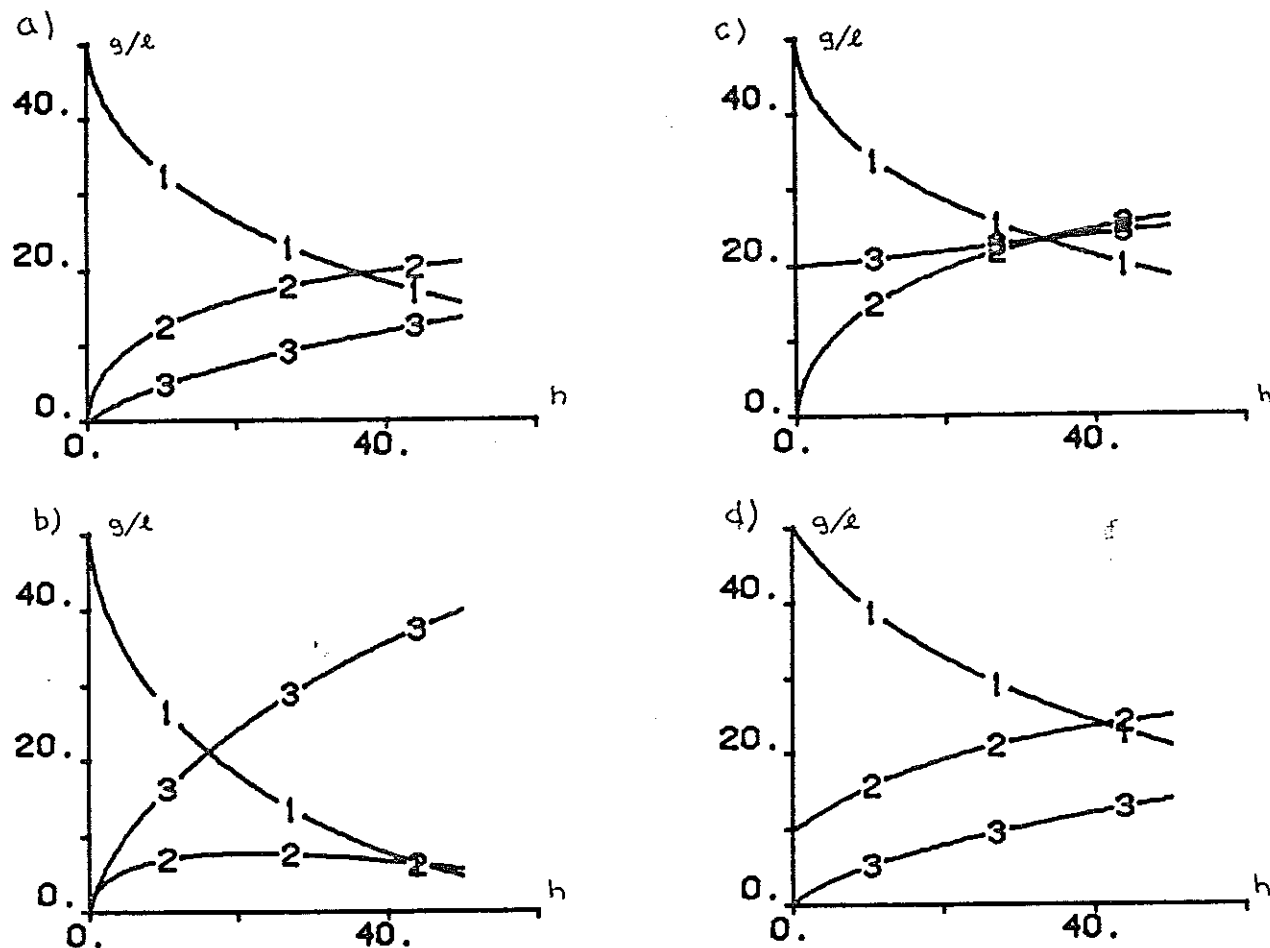


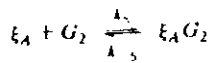
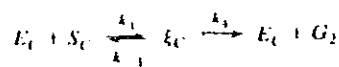
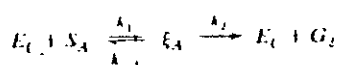
Fig. 2.13 Simulering av HCH-1 med initial koncentrationerna
cellulos 50 g/l, Celluclast 2 FPU/ml, Novozym 0.02 IU/ml
(1:Cellulosa , 2:Celllobios , 3:Glukos)
a) som ovan
b) som ovan utom Novozym 2 IU/ml
c) som ovan samt en glukoshalt på 20 g/l
d) som ovan samt en celllobioshalt på 10 g/l

Enzymatisk hydrolysis

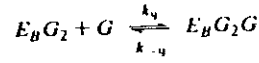
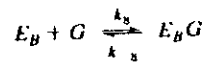
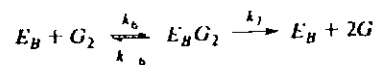
'Amorf och kristallin cellulosa'-modellen

Denna modell publicerades av Blanch m. fl. (ref. 5). De dominerande reaktionerna enligt författarna är följande:

Heterogeneous reactions:



Homogeneous reactions:



Tabell 2.14 Reaktionsvägar för cellulosahydrolysis enligt ref. 5.

De homogena reaktionerna känner vi igen från cellobioshydrolysen ovan. De heterogena reaktionerna består av två olika reaktioner för hydrolysis av amorf resp. kristallin cellulosa. Även en inhiberingsreaktion av det amorfa enzymkomplexet har antagits.

Hastighetsekvationerna för de heterogena reaktionerna är snarlika de för SSM, d.v.s. är av första ordningen m.a.p. enzym-substratkoplexet.

$$r_C = k_C \xi_C \quad r_a = k_a \xi_a \left[\frac{1}{1+K_1 C} \right]$$

$$\text{Enzymadsorption} \quad \xi = n_s SE / (K+E)$$

$$\text{Substratyta (sfärisk)} \quad S = 4\pi R^2 n$$

$$\text{Substratkonzentration} \quad C = 4/3 \pi R^3 n g$$

vilket ger

$$\xi = B' C' E / (E+K)$$

$$\text{där } B' = 3n_s / (\rho r_o) \text{ och } C' = C_o^{1/3} C^{2/3}$$

tillsammans med en enzymbalans

$$E_o = E + \beta M_e \xi$$

(βM_e är omräkningsfaktorer från mol till aktiviteter).

Vi elimineras E (samt gör ett variabelbyte) och får följande

$$(E_o - \xi') (\xi' - BC) = -\xi' K$$

$$\text{eller } \xi' = b/2 \pm (b^2/4 - c)^{1/2}$$

Enzymatisk hydrolysis

$$\begin{aligned} \text{där } b &= BC + K + E_0 & (\text{samt } \xi' = \beta M_e \xi) \\ c &= BCE_0 & (\text{och } B = \beta M_e \xi') \end{aligned}$$

Detta ger hastighetsekvationerna

$$r_c = k_c \xi_c = \alpha_c \left[\frac{b_c - (b_c^2 - 4c_c)^{1/2}}{2} \right]$$

$$\begin{aligned} \text{där } b_c &= \beta_c \gamma_c + \alpha_c + E_0 \\ \gamma_c &= f_c s_{co}^{1/3} s_c^{2/3} \end{aligned}$$

$$c_c = \beta_c \gamma_c E_0$$

(β_c , f_c samt α_c är konstanter)

och motsvarande för amorf cellulosa

$$r_a = k_a \xi_a \left[\frac{1}{1+K_I} \right] = \alpha_a \left[\frac{b_a - (b_a^2 - 4c_a)^{1/2}}{2} \right] \left[\frac{1}{1+K_I} \right]$$

$$\begin{aligned} \text{där } b_a &= \beta_a \gamma_a + \alpha_a + E_0 \\ \gamma_a &= f_a s_{ao}^{1/3} s_a^{2/3} \end{aligned}$$

$$c_a = \beta_a \gamma_a E_0$$

I samma artikel redovisas de erhållna värdena på konstanterna för rishalm som substrat.

$$\beta_a = 41.4$$

$$\alpha_a = 314$$

$$f_a = 0.0375$$

$$k_a = 2.11E-3 \text{ min}^{-1}$$

$$K_I^a = 0.14 \text{ mM}$$

$$\beta_c = 203.4$$

$$\alpha_c = 1050$$

$$f_c = f$$

$$k_c = 3.24E-4 \text{ min}^{-1}$$

Vidare konstateras den amorfa andelen cellulosa vara 38% av den nerbrytbara andelen cellulosa i rishalm (nerbrytbar andel är cirka 65%).

Enzymatisk hydrolysis

Dessa konstanter har omräknats för att passa de experimentella resultat som redovisas i samma artikel samt för att byta enheter till de som användes i fortsättningen nämligen g/l och h.

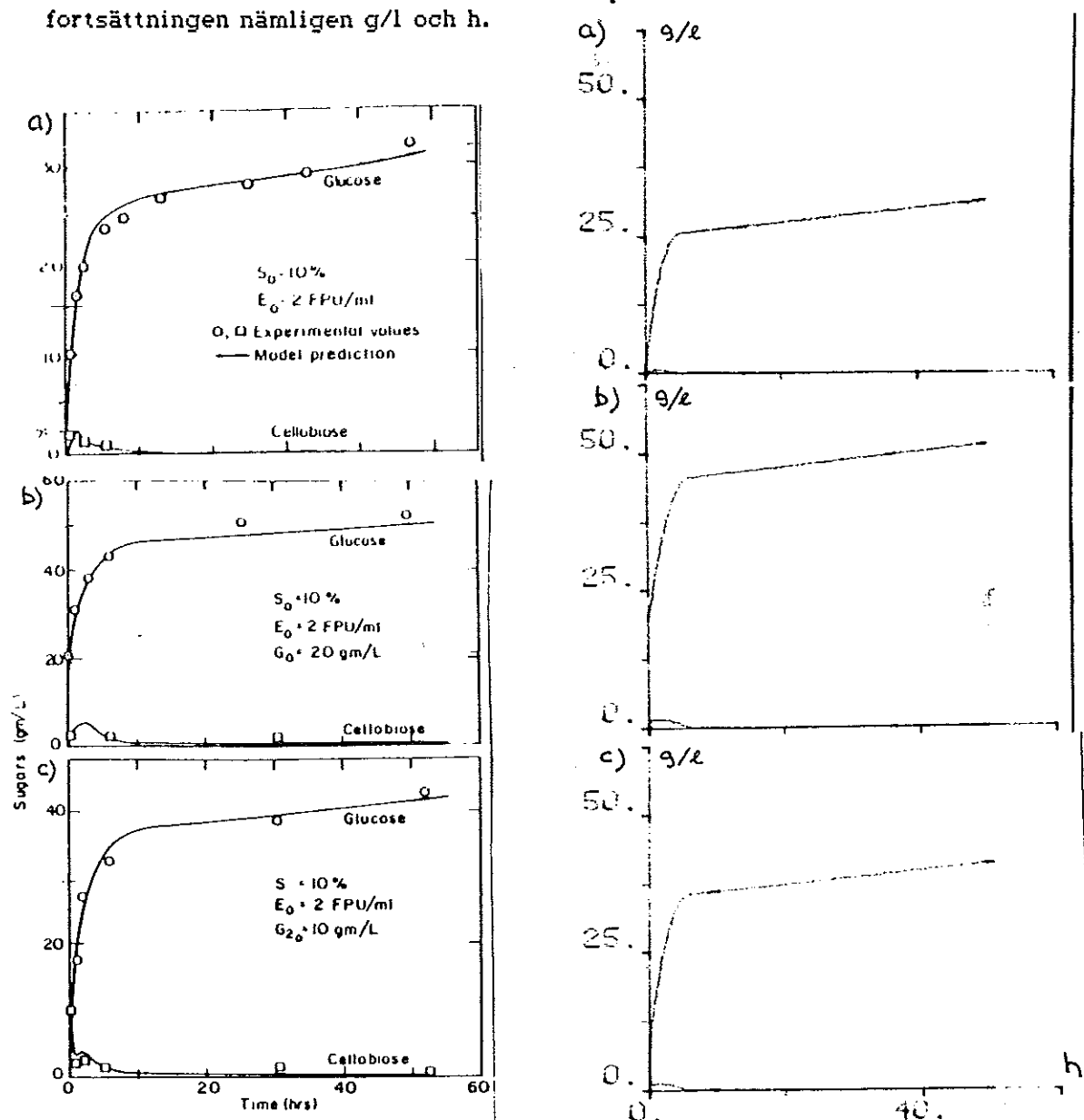


Fig. 2.15 Försök och simuleringsar av ACCM enligt ref. 5.

- a) Initialkoncentration 100 g/l och 2 FPU/ml
 - b) samt cellobioskoncentrationen 10 g/l
 - c) samt glukoskoncentrationen 20 g/l
- (höger ref. 5 , vänster simnonprogram ACCM)

Enzymatisk hydrolysis

2.3 JÄMFÖRELSE AV MODELLER OCH ETT SATSVIS FÖRSÖK.

Försök

Ett satsvis försök gjordes för att försöka utvärdera de modeller som presenterats tidigare. Försöket gjordes i ett tvåfas-system, Rådextran(8%)/Polyetenglykol(6%) (DEX/PEG) med pH 4.8 och vid temperaturen 40 C. Substratet vid försöket utgjordes av ett modellsubstrat, Solka Floc BW 200. Enzymerna kom från det danska företaget Novo. Cellulaserna var preparerade från Trichoderma reesii med produktnamnet Cellulast. Cellobias var preparerade från Aspergillus niger och går under namnet Novozym.

Under försöket gjordes analyser av cellulosa, reducerat socker samt glukos. Cellulosahalten analyserades gravimetriskt. DNS-metoden utnyttjades för att bestämma mängden reducerat socker. Koncentrationen glukos analyserades m.h.a. två olika metoder. Den första metoden var att utnyttja det FIA-system (Flow Injection Analysis) som finns beskrivet i 4.2. Metod nummer två var att utnyttja en enzymatisk metod, GOD-PAF, som bygger på att en enzymreaktion av glukosen bildar ett färgkomplex som kan mätas spektrofotometriskt.

Resultatet är presenterat i figur 2.16. Försöket startades med 52.6 gram Solka Floc (5%), 26 ml Cellulast (2 FPU/ml). Efter 120 timmar tillsattes ytterligare 52.6 gram Solka Floc och efter 144 timmar tillsattes 1.13 gram Novozym (600 IU/l). Ytterligare 1.13 gram Novozym och 26.3 gram Solka Floc tillsattes efter 182 timmar.

Enzymatisk hydrolysis

Modelljämförelser

Det mest förväntade är att alla tre modellerna utan större problem kan anpassas till försöksresultaten.

SSM ger ett långsamt reaktionsförlopp. Modellen är något längsammare än försöksresultaten men som helhet kan nog modellen klassas som tillfredsställande.

HCH-1 ger nästan identiska kurvor som SSM, vilket inte är helt överaskande med tanke på dess fysikaliska bakgrund. Att kurvorna skiljer sig lite är endast p.g.a. olika initialkoncentrationer.

ACCM ger ett mycket snabbt hydrolysförlopp, men överpredikterar cellobios något. Denna modell ger också möjligheten att välja utseende på hydrolysen m.h.a. att variera andelen amorf cellulosa och inhiberingskonstanten k_i . Ett högt k_i och stor andel amorf cellulosa ger ett hydrolysförlopp mycket likt de två tidigare, SSM och HCH-1.

Några förslag till förbättrade modeller skulle vara att modifiera tanken bakom ACCM, d.v.s. utnyttja flera tillstånd att beskriva cellulosan. Det första skulle vara att knyta an till den reaktionsmekanismen som visades i kapitel 2.1 (ref. 4). Där antog man ytterligare en intermediär, glukosoligomerer.

Ett annat förslag är att stoppa in ytterligare ett tillstånd, nämligen icke nedbrytbart material. Detta tillstånd påverkar ej kinetiken men gravimetriska och viskositetsbaserade analyser störs avsevärt.

Substratet Solka Floc är naturligtvis industriellt ointressant, men en modellanpassning av andra substrat, såsom sälg, kan säkert göras. En sådan anpassning skulle kunna göras m.h.a. försök liknande de ovan gjorda.

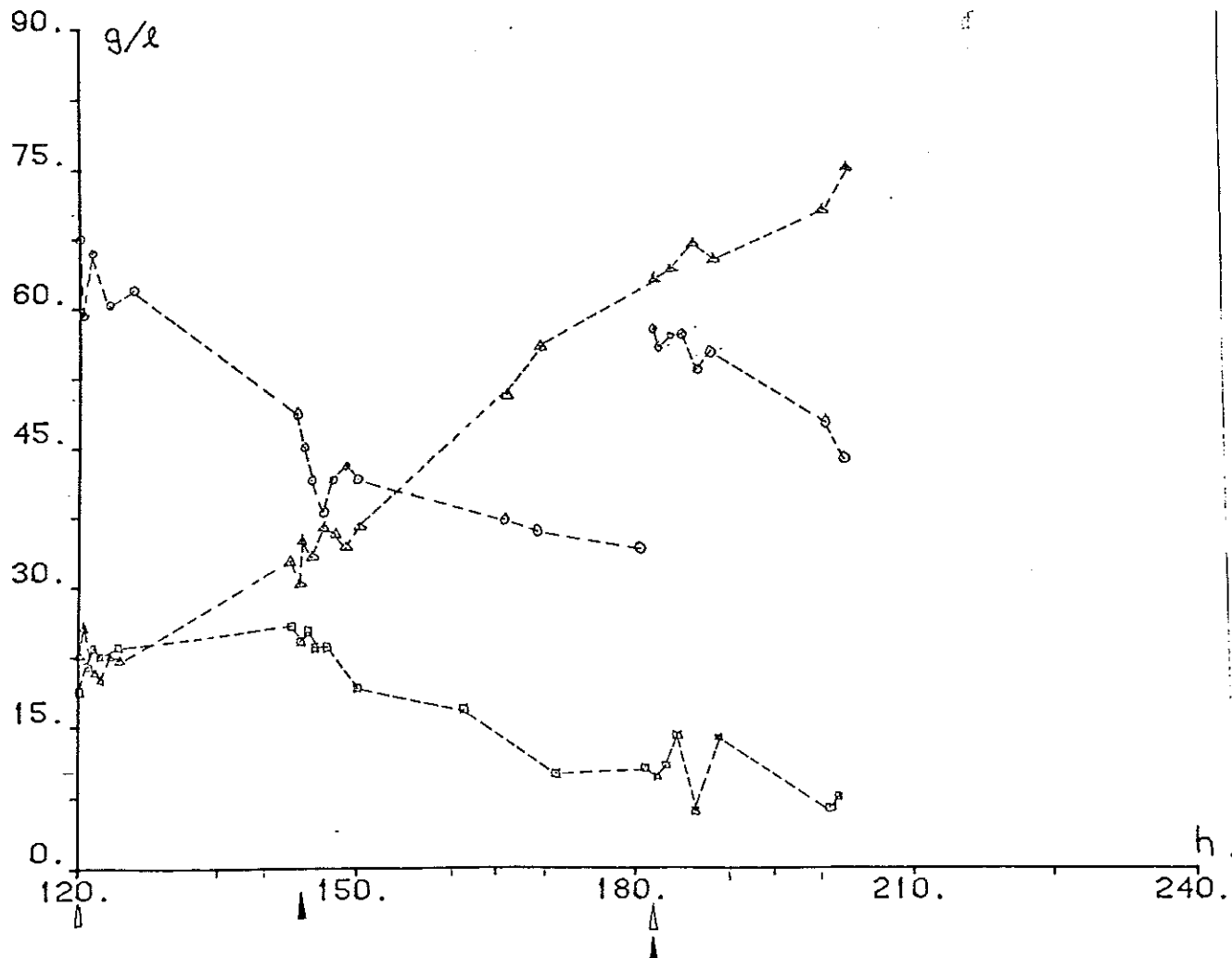
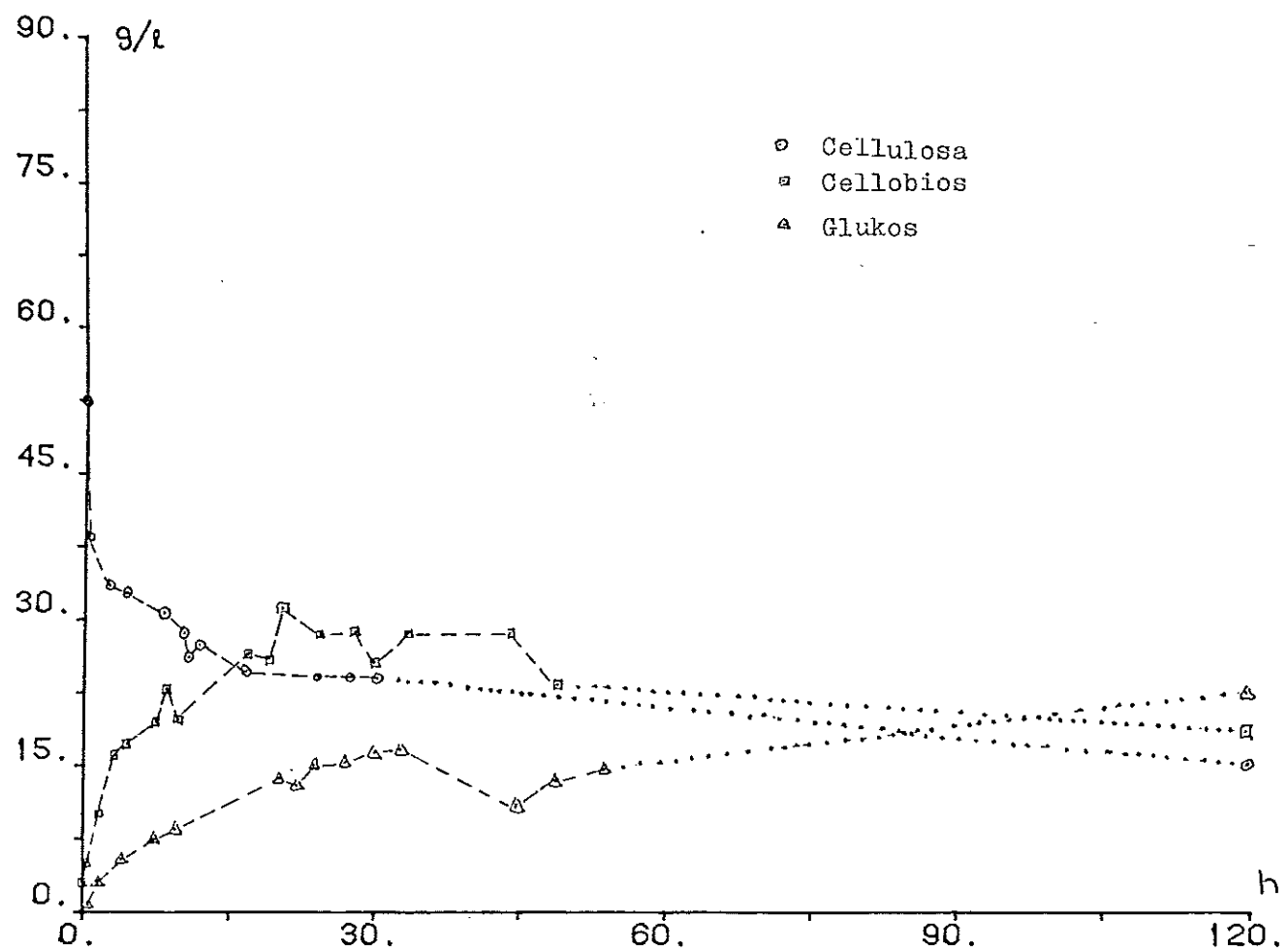


Fig. 2.16 Ett satsvis försök med substratet Solka Floc.

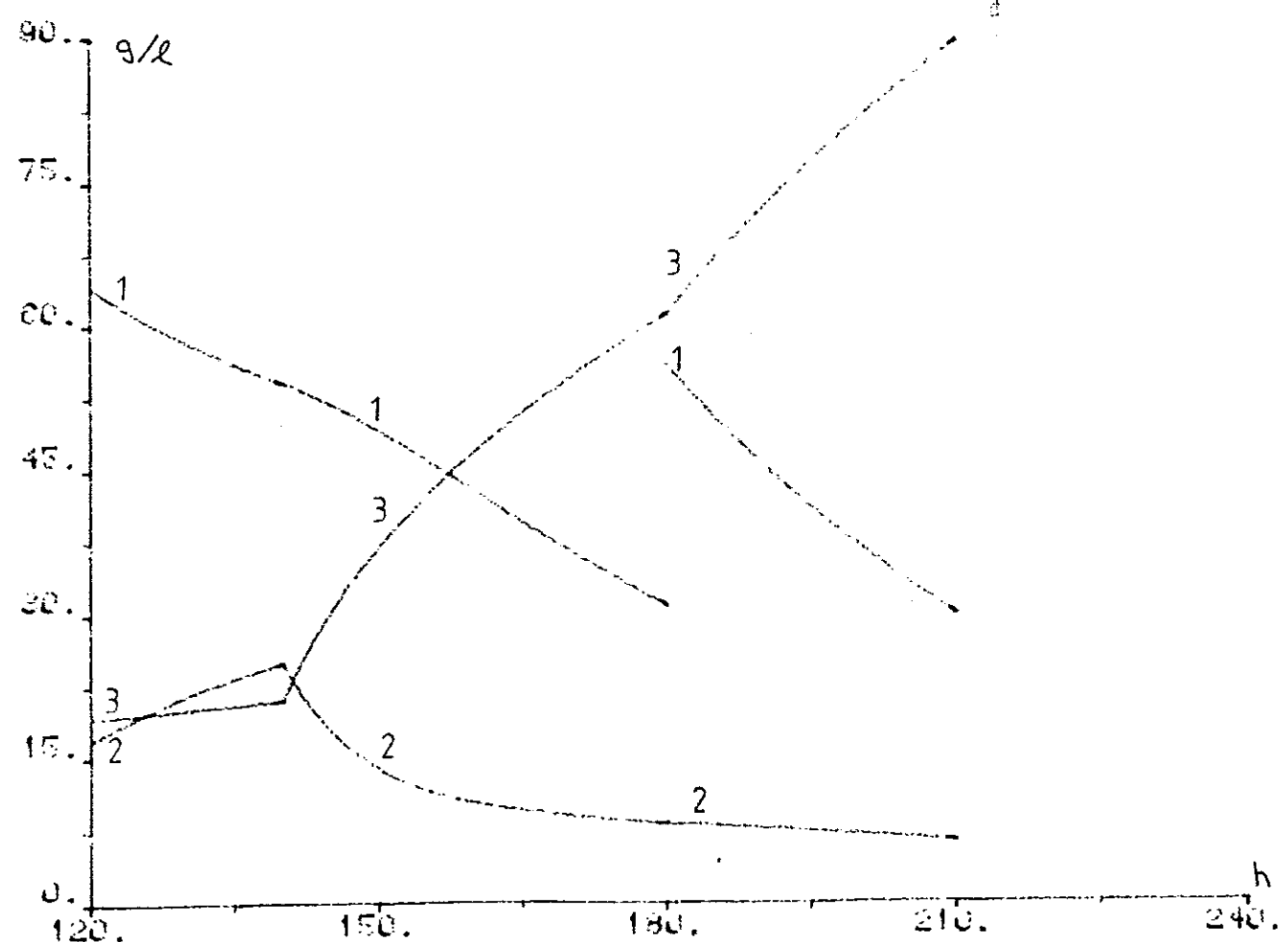
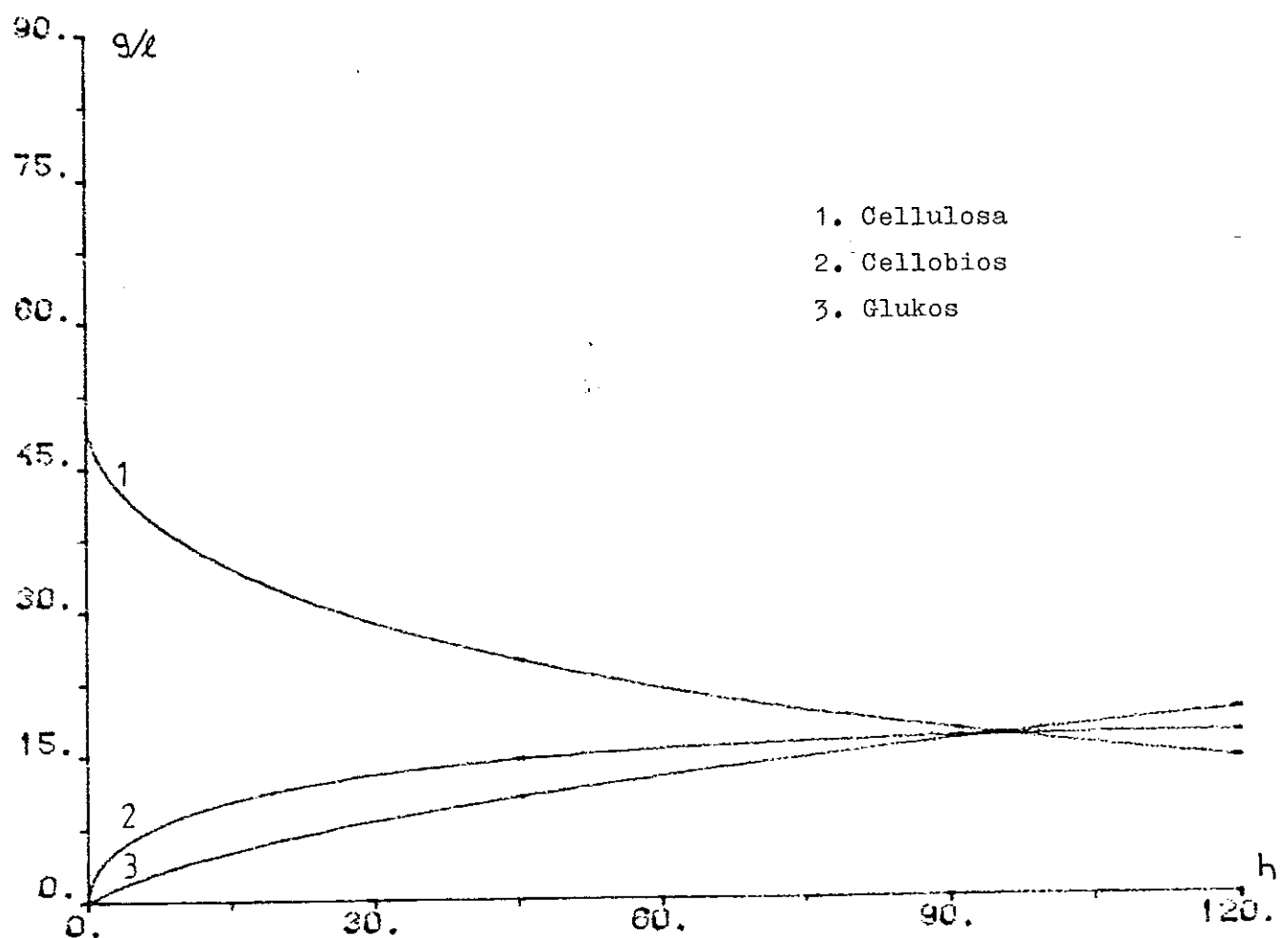


Fig. 2.17 Simulering av modellen SSM

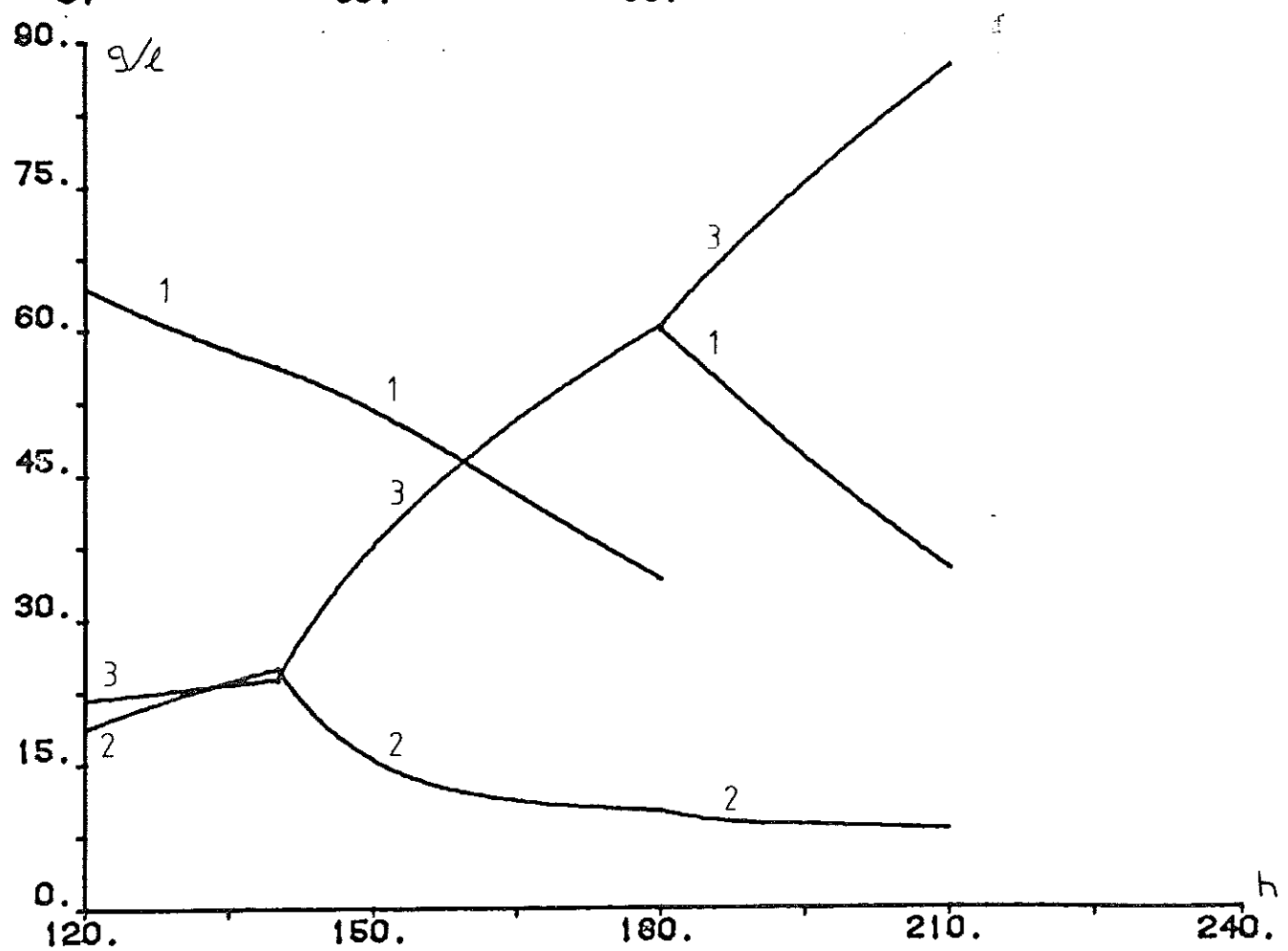
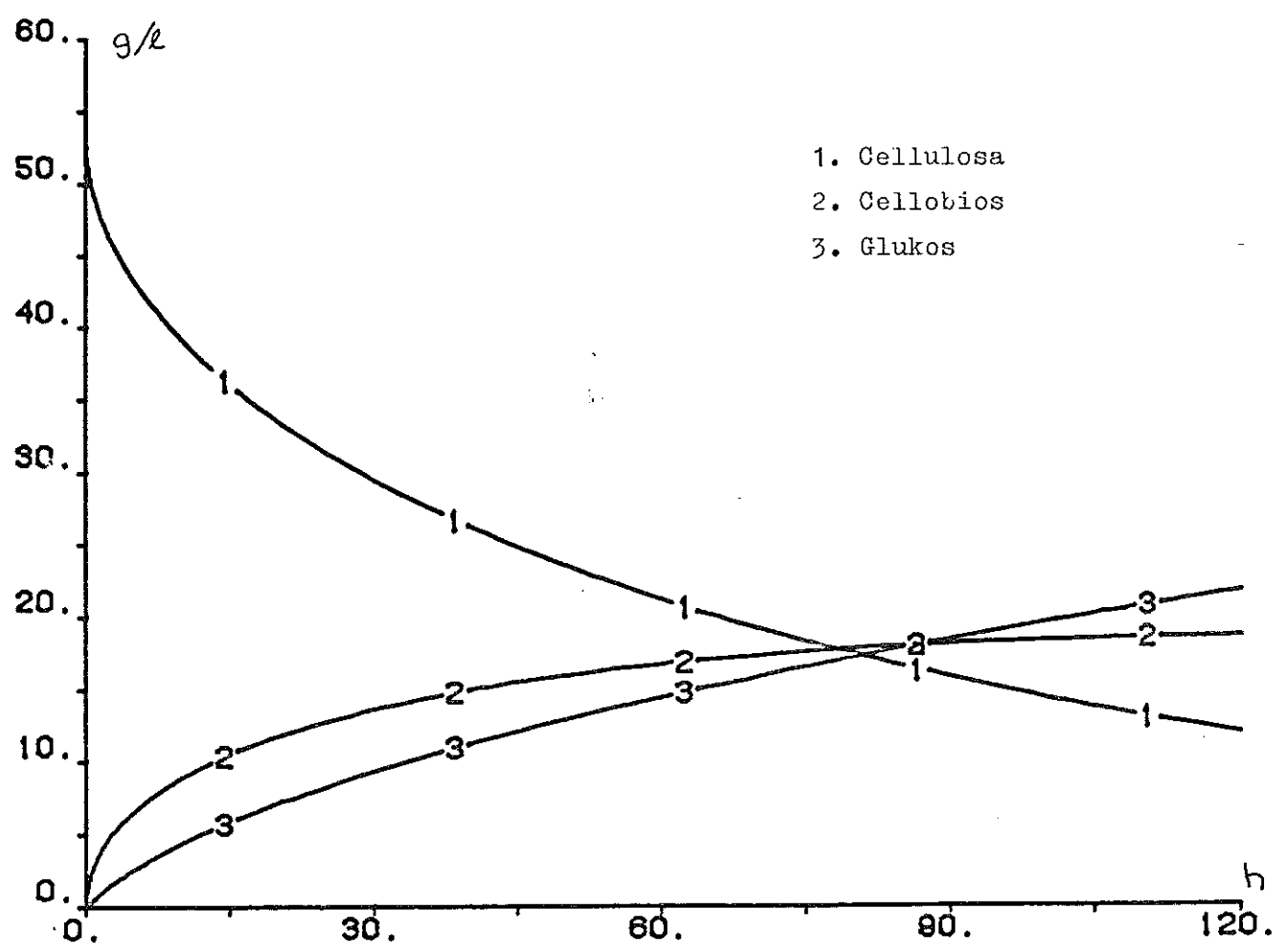


Fig. 2.18 Simulering av modellen HCH-1

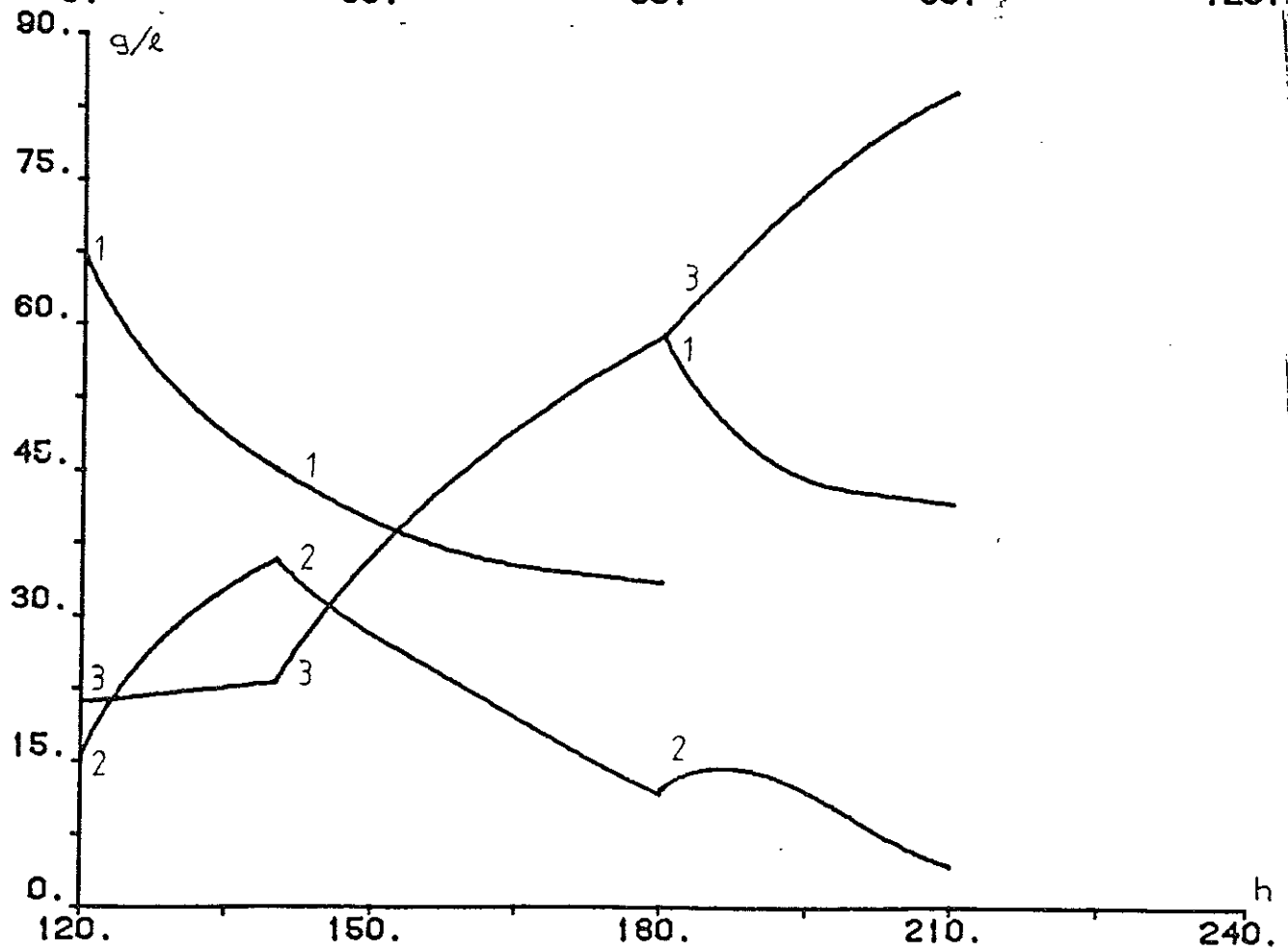
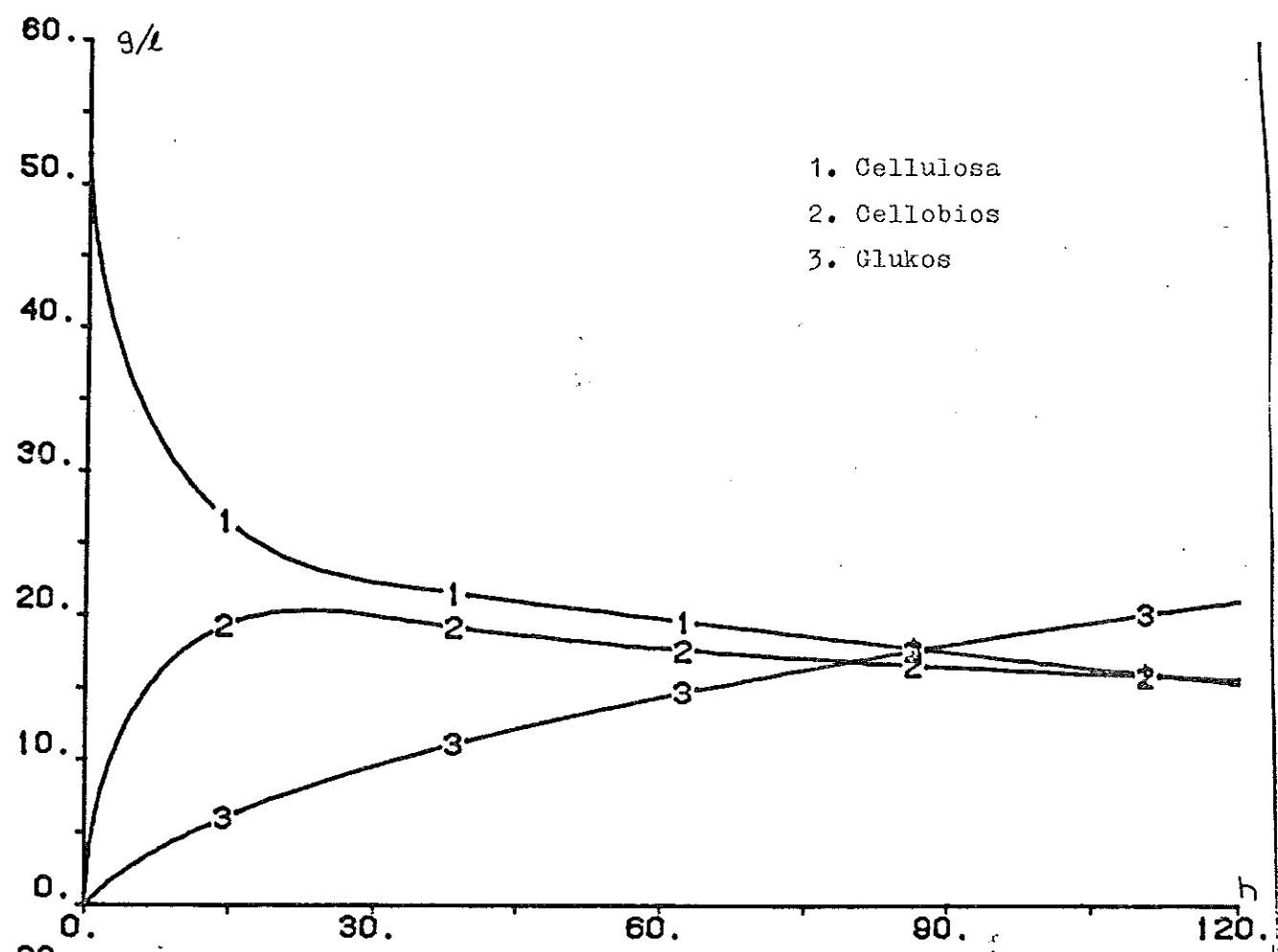


Fig. 2.19 Simulering av modellen ACCM

Tvåfas-system för kontinuerlig produktion

3. TVÅFAS-SYSTEM FÖR KONTINUERLIG PRODUKTION

3.1 PROCESSBESKRIVNING

Ett tvåfas-system utnyttjar två icke blandbara faser, som man först blandar väl i en mixer och sedan låter separera i en settler. Genom att utnyttja kunskapen om olika komponenters fördelning i de båda faserna, kan vi separera olika komponenter från varandra. I det fall som studerats har man använt två vattenlösiga polymerfaser. Detta innebär att ingen fasjämvt existerar för "vanliga" molekyler utan endast för makromolekyler, typ cellulosa och enzymer. Den enzymatiska hydrolysen bör ske vid temperaturer över 40°C, men fasseparationen sker avsevärt bättre vid låga temperaturer. Därför är mixern i vårt fall uppvärmd till 40°C, medan flödet till settlern kyls för att förbättra separationen. Det är alltså mer adekvat att tala om en tankreaktor och en separator istället för en mixer-settler.

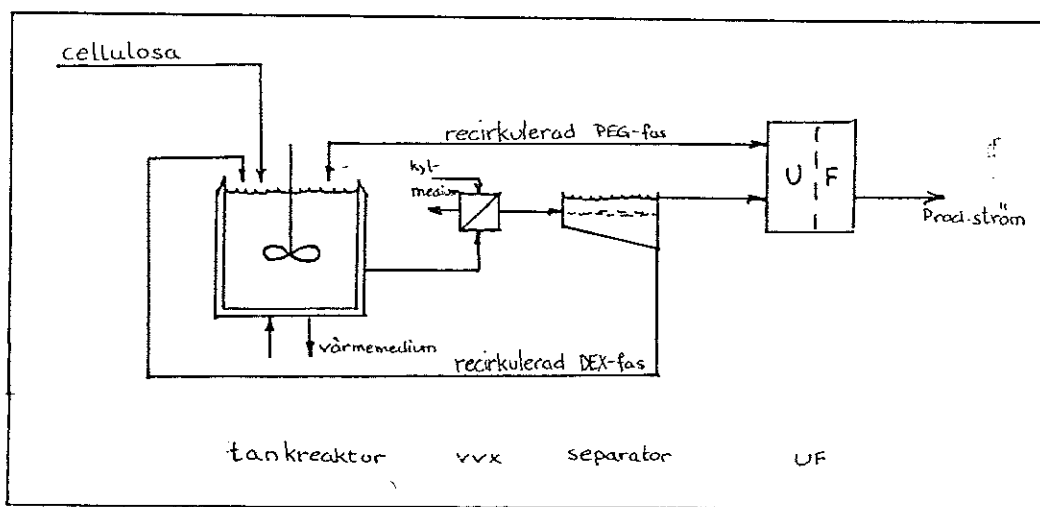


Fig. 3.1 Översiktligt processschema

De vattenlösiga polymerfaser som används är rådextran (DEX) och polyetenglykol (PEG). DEX-fasen är den tyngre och färs som bottenfas i separatoren. DEX-fasen kommer också att innehålla all cellulosa och det mesta enzymet. PEG-fasen, färs som toppfas ur separatoren, innehåller reaktionsprodukter, så som glukos och cellubios samt en del enzym. Bottenfasen recikuleras till tanken medan toppfasen går vidare till en ultrafiltreringsenhets för koncentrering av PEG-fasen för recirkulation till tanken.

Den maximala cellulosakoncentration som praktiskt är möjlig i tanken, begränsas av motsvarande koncentration (eller snarare viskositet) i den recirkulerande DEX-fasen. I denna ström råder dubbla ca. cellulosakoncentrationen jämfört med tanken. Här är det lämpligaste pumpvalet en skruvpump. Ett analogt problem kan uppstå i ultrafiltreringsenheten. Det minsta PEG-flödet som kan recikuleras begränsas av maximala PEG-koncentrationen under ultrafiltreringen eller viskositeten vid pumpningen.

Tvåfas-system för kontinuerlig produktion

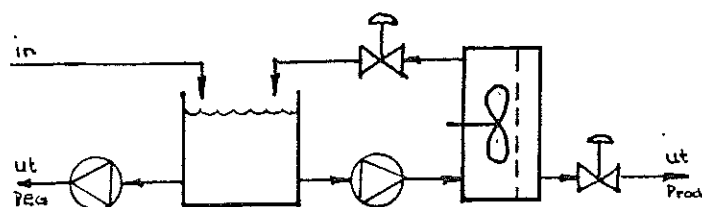


Fig. 3.2 Kontinuerlig ultrafiltrering.

Den naturliga cellulosen som kommer att vara av intresse vid industriell tillämpning förbehandlas i ett tidigare steg. Om detta innebär ett tillflöde i form av ett fast material, som måste transporteras med band eller skruv, eller ett pumpbart medium så krävs ytterligare tillflöde av lösningsmedel (buffertlösning). Detta för att ge möjligheter att variera cellulosa-koncentrationen i tanken och ändå behålla produktflödet.

Naturlig cellulosa innehåller naturligtvis en hel del icke nedbrytbart material. Den större delen kommer att ackumuleras i DEX-fasen, om ej något görs. Detta innebär att det är nödvändigt med en avtappningsström och ett tillflöde av ny DEX-fas för att återställa fasförhållandet.

För att återanvända den avtappade DEX-fasen krävs någon form av rening. För att få veta hur denna ska gå till krävs en ingående studie i vad som ackumuleras och hur detta kan åtgärdas. Det bör påpekas att detta kan vara av stort ekonomiskt intresse.

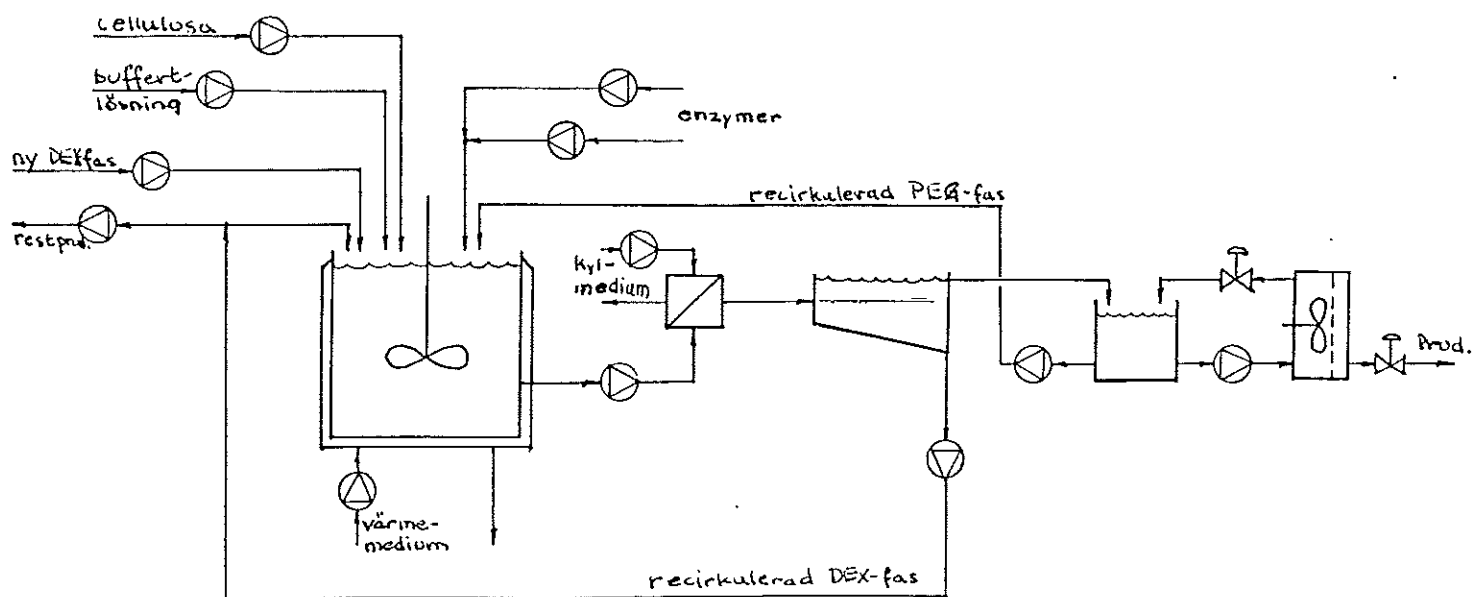


Fig. 3.3 Processschema för kontinuerlig produktion av glukos i ett tvåfas-system enligt ovan.

Tvåfas-system för kontinuerlig produktion

3.2 FASVAL OCH PASJAMVIKTER

Ett fassystem för enzymatisk hydrolysis har utarbetats vid avdelningen för Biokemi (ref. 6 och 10). En ingående studie av ett tvåfas-system av dextran (DEX) och polyetenglukol (PEG) har gjorts m.a.p. molvikt, koncentration, jonstyrka, pH, temperatur och enzym/substrat-förhållandet. Det "bästa" fassystemet bestämdes till att vara DEX 40 - PEG 40000. Av ekonomiska skäl är rådextran att föredra framför dextran 40. Ungefärliga jämviktskonstanter för endo- β -glukanas och β -glukosidase för olika medier kan ses nedan.

| enzym \ media | DEX 40/PEG 40000 | Rådex/PEG 40000 |
|-------------------------|------------------|-----------------|
| endo- β -glukanas | 0.02 | 0.16 |
| β -glukosidase | 0.005 | 0.14 |

Tabell 3.4 Jämviktskonstanter (fördeln. i topfas/bottenfas)
för resp. enzym vid 20°C med mycket cellulosa närvarande.

Tvåfas-system för kontinuerlig produktion

3.3 PROCESSMODELLERING.

Som antydes i kap. 3.1 är kan man betrakta reaktorsystemet som en tankreaktor och en separator. Den enklaste modellen av processen utgör antagandet att omrörningen i tanken är så god att man kan betrakta tanken som ideal (d.v.s. inga koncentrationsgradienter). Ytterligare en förenkling är att försumma reaktionen i separatoren.

Tankreaktorn.

Tankreaktorn kan nu skrivas som

| Ackumulering | = | In | - | Ut | + | Produktion |
|-----------------------|---|--|---|----|---|------------|
| $V_m \frac{dc_m}{dt}$ | = | $\sum q_t c_t - \sum q_{ut} c_m + V_m r_m$ | | | | |
| $\frac{d DEX_m}{dt}$ | = | $B - R \frac{DEX_m}{V_m}$ | | | | |
| $\frac{d PEG_m}{dt}$ | = | $T + F - R(1 + \frac{DEX_m}{V_m}) - (T + P)$ | | | | |

där V är tankvolymen, c_m och c_t koncentrationen av komponent i i tanken resp. i tillflödet (feed), q_t och q_{ut} är volymsflöde i tillflöde resp. utflöde (V =konstant, $q_t = q_{ut}$) samt r_m är reaktionshastigheten för komponent i .

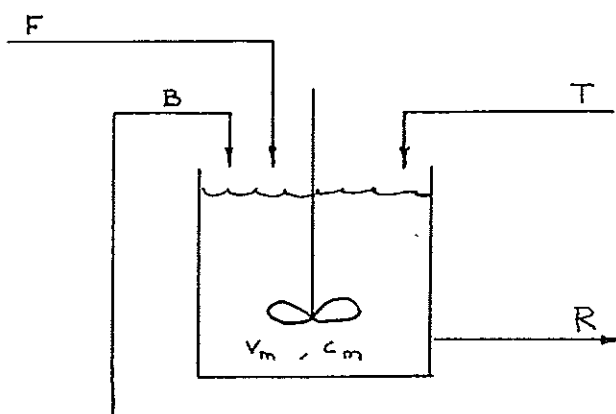


Fig. 3.4 Tankreaktor.

Ytterligare en parameter införes, nämligen recirkulationsförhållandet eller θ ($= T/F$). Med hjälp av enkel massbalans över hela processen får följande flöden (volymsackumuleringen = 0):

$$T = \theta F , \quad B = F(1+\theta) , \quad R = 2F(1+\theta)$$

Tvåfas-system för kontinuerlig produktion

Separatorn.

Ovan antogs att reaktionen i separatoren är försumbar. Detta förenklar separatoren avsevärt. Det medför att man inte får någon produktionsterm.

$$\begin{array}{lcl}
 \text{Ackumulering} & = & \text{In} - \text{Ut} + \text{Produktion} \\
 \frac{dc_s}{dt} & = \Sigma q_t c_t - \Sigma q_{ut} c_s \\
 \frac{d \text{DEX}_s}{dt} & = R \frac{\text{DEX}_m}{V_m} - B \\
 \frac{d \text{PEG}_s}{dt} & = R(1 + \frac{\text{DEX}_m}{V_m}) - (T + P)
 \end{array}$$

I separatoren har vi dock två olika faser med olika koncentrationer. Man kan se separatoren som en vanlig tank utan reaktion men med olika koncentrationer i olika utflöden. På molkylärnivå fås, enligt ovan, ingen fasjämvikt, med andra ord har man samma koncentration av cellobios och glukos i topfasen som i bottenfasen. Men på makromolekylärnivå fås en fasjämvikt. Cellulosan återfinnes helt och hället i DEX-fasen, d.v.s. cellulosan ackumuleras endast i DEX-fasen, och vid stationära förhållanden är bottenfasflödet halva R-flödet, vilket medför dubbla koncentrationen cellulosa i bottenfasen jämfört med R och tanken.

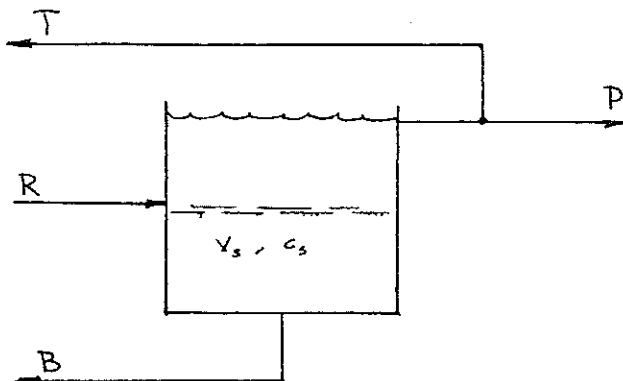


Fig. 3.5 Tvåfas-separatoren eller settlern.

Ultrafiltrering.

Kontinuerlig UF kan betraktas som en tank utan reaktion. D.v.s. vid stationäritet finns inga koncentrationsgradienter och alla utflödena har samma glukos- och cellobioskoncentrationer. Dess dynamik är mycket långsam p.g.a. den stora volym som finns i bufferttanken och i recirkulationsflödet. Dynamiken över membranet kan betraktas som relativt snabb jämfört med den "vanliga" massbalansdynamiken. Med detta som grund kommer vi i fortsättningen ej att ta upp UF-enheten.

Tvåfas-system för kontinuerlig produktion

Modell av enzymförluster

Detta utgör kanske den viktigaste delen av hela processproblematiken. Enzymerna är den viktigare processvariabeln ur både processteknisk och ekonomisk synvinkel. I processen, beskriven ovan, har man två olika förlustkällor. Den första är helt enkelt att enzymer följer med i olika flöden ut ur processen, och då i första hand med avtappningsströmmen. Detta flöde måste naturligtvis minimeras. Den andra källan är deaktivering av enzymerna. Enligt ovan (kap 2.1) är den största källan till deaktivering, irreversibel adsorption på cellulosen.

3.4 JÄMFÖRELSE AV PROCESSMODELL OCH ETT KONTINUERLIGT FÖRSÖK.

Ett kontinuerligt försök

Vid försöket användes samma tvåfas-system, pH, temp., enzymtyper samt substrat som i det satsvisa försök som presenterades i kapitel 2.3. Analyserna av torrsubstans, reducerat socker samt glukos gjordes också som tidigare. Försöket gjordes med en tankreaktor på 1 liter, en separator på 0.25 liter (0.4 dm³). Tanken värmedes i ett vattenbad medan R-flödet kyldes m.h.a. en "vanlig" vattenkylare.

Försöket startade med en cellulosahalt på 6% och en cellulasttillsats motsvarande 2 FPU/ml. Tillflödet hade en cellulosahalt på 4,4%. Försöket fick fortgå till stationäritet, d.v.s. i ca. 6 dygn. Då gjordes först ett stegsvar m.a.p. cellulosahalten i tillflödet (en ökning från 4,4% till 5,9%). Därefter gjordes ett stegsvar m.a.p. cellulast (en tillsats på 20 ml). Till sist gjordes en tillsats med Novozym på 3.8 gram. Under hela försöket hölls produktflödet på 15 ml per timma och recirkulationsförhållandet var ungefär lika med noll ($\Theta=0$), d.v.s. R-flödet var vid stationäritet lika med 30 ml per timma. Hela försöket tog ca. 2 veckor.

Det visade sig dock vara svårt att hålla stationära betingelser under en längre tid. Främst gäller detta flöden och då i första hand de som innehöll cellulosa. Svårast var att kontrollera B-flödet p.g.a. varierande och mycket höga cellulosakoncentrationer.

Analyser av cellulosakoncentrationen i tankreaktor gjordes för att utröna om approximationen: inga koncentrationsgradienter var godtagbar. Analyserna gav högst 2%-s avvikelse, vilket medför att approximationen var godtagbar.

Aven försummandet av reaktion i separatoren kontrollerades. I separatoren mättes koncentrationer som var ca. 5-10 % högre än i tankreaktorn. Denna försumming kan alltså ifrågasättas.

Tvåfas-system för kontinuerlig produktion

Modelljämförelser

Om det var förvånande hur bra alla tre kinetikmodellerna predikterade det satsvisa försöket, så måste man nog säga att det är förvånande hur dåligt processmodellen och försöksresultaten stämmer överens. Naturligtvis ligger det många approximationer bakom processmodellen, men den största avvikelsen utgör nog försöket i sig. Frånsett analysfel så utgör approximationen att alla flöden är konstanta en stor felkälla.

Eftersom SSM och HCH-1 ger nästan identiska simuleringar, har endast SSM och ACCM studerats, och först med konstanta enzymaktiviteter.

SSM-simuleringen bekräftar vad som sades i kapitel 2.3, d.v.s. att modellen ger långsamma förlopp. På enzymstegsvaren ger modellen mycket svaga stegsvar.

ACCM ger ett något bättre resultat och reagerar i rätt riktning på de olika stegsvaren. Den utgör ändå inte någon direkt bra modell.

Ingen av modellerna, i nuvarande skick, kan användas för en mer ingående analys, varken processteknisk eller reglerteknisk.

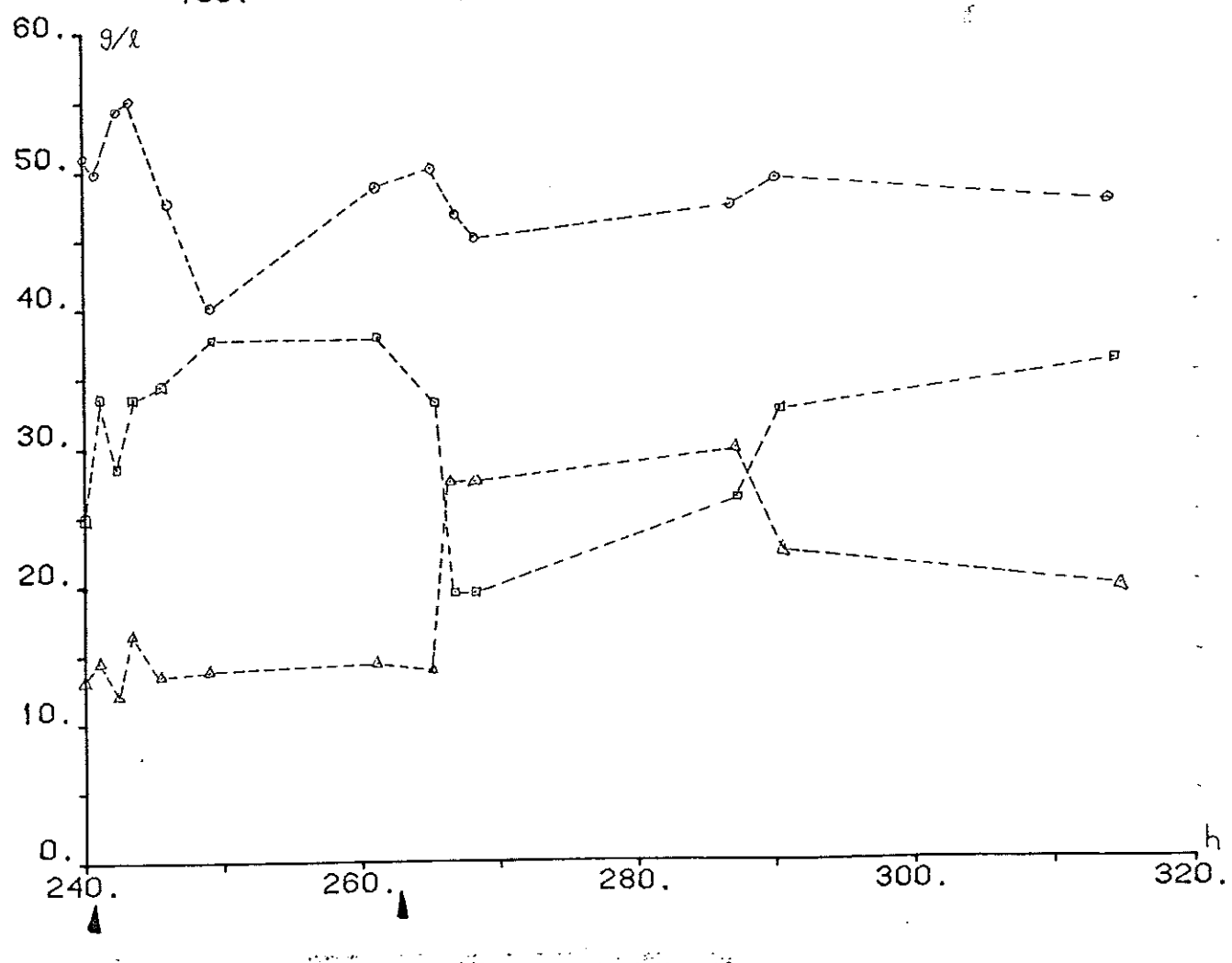
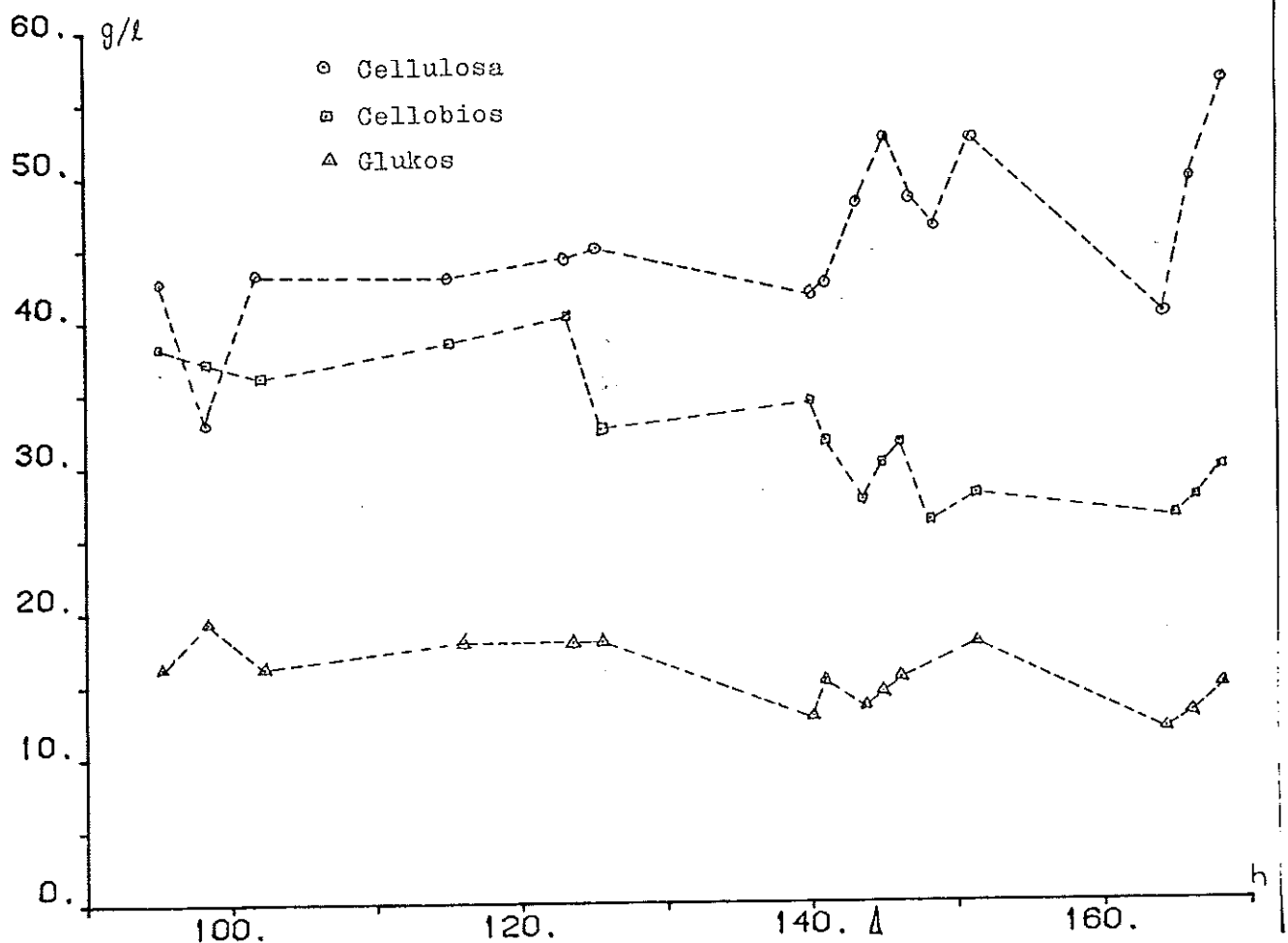


Fig. 3.5 Ett kontinuerligt försök

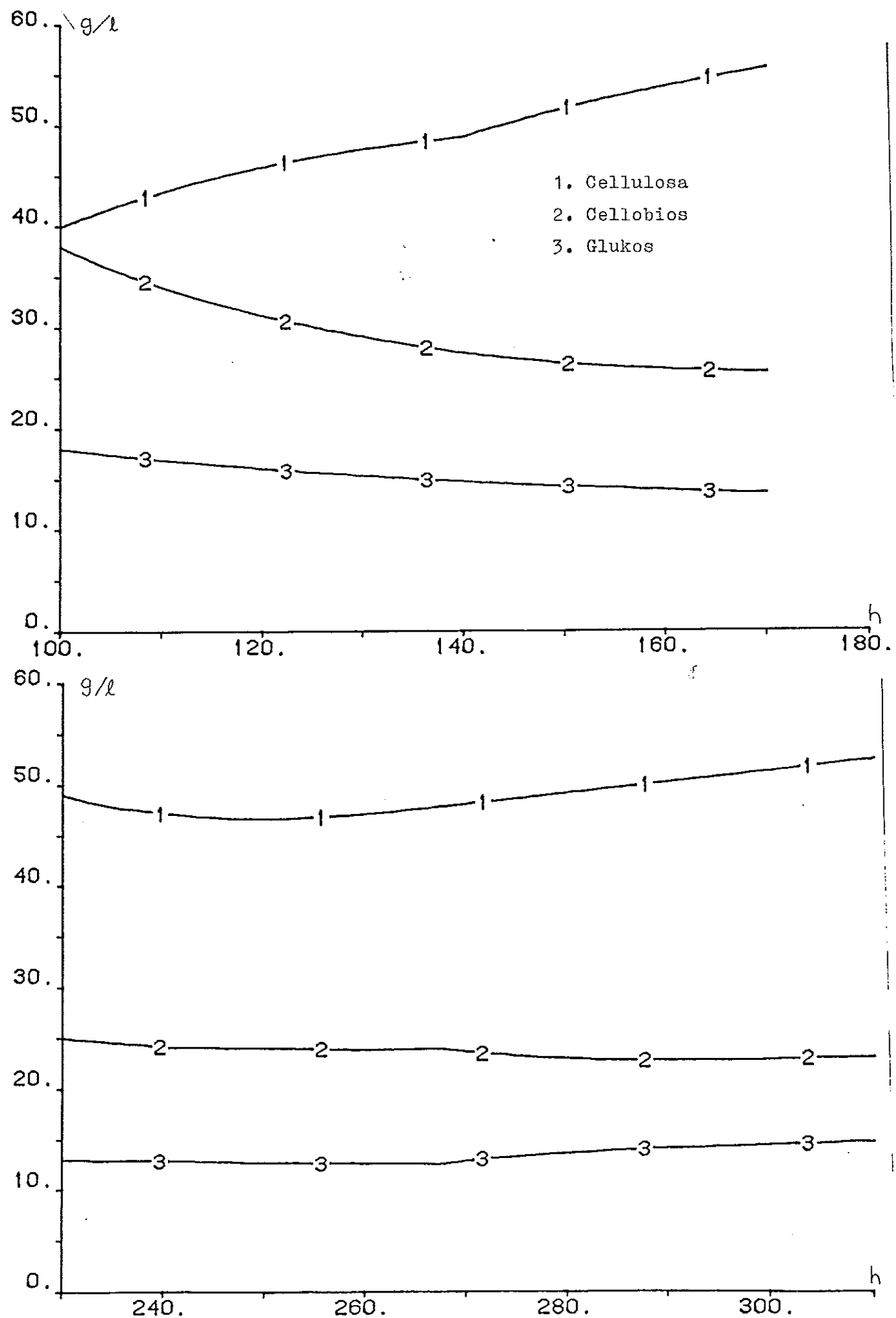


Fig. 3.7 Simulering av processmodellen med SSM-kinetik.

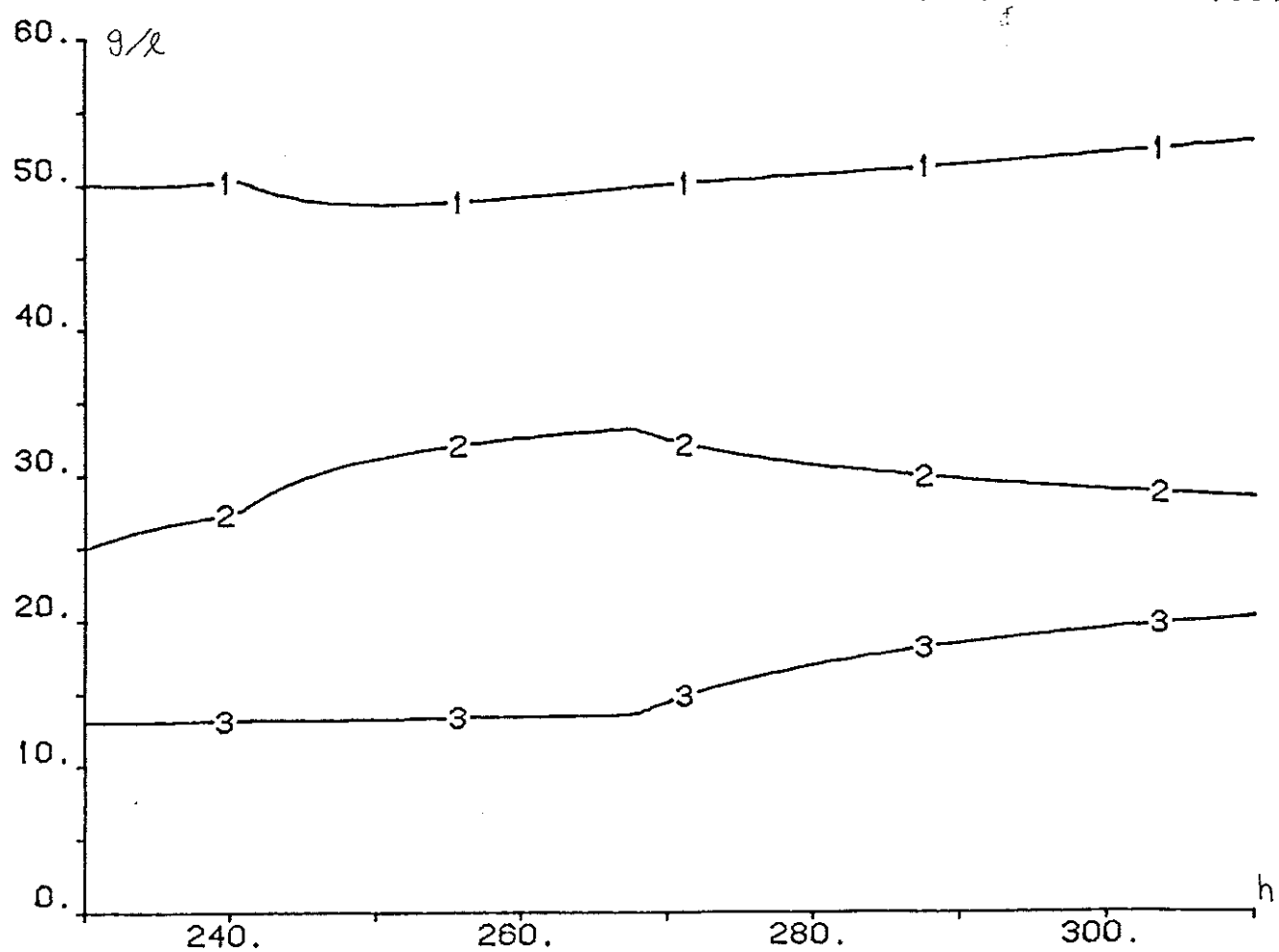
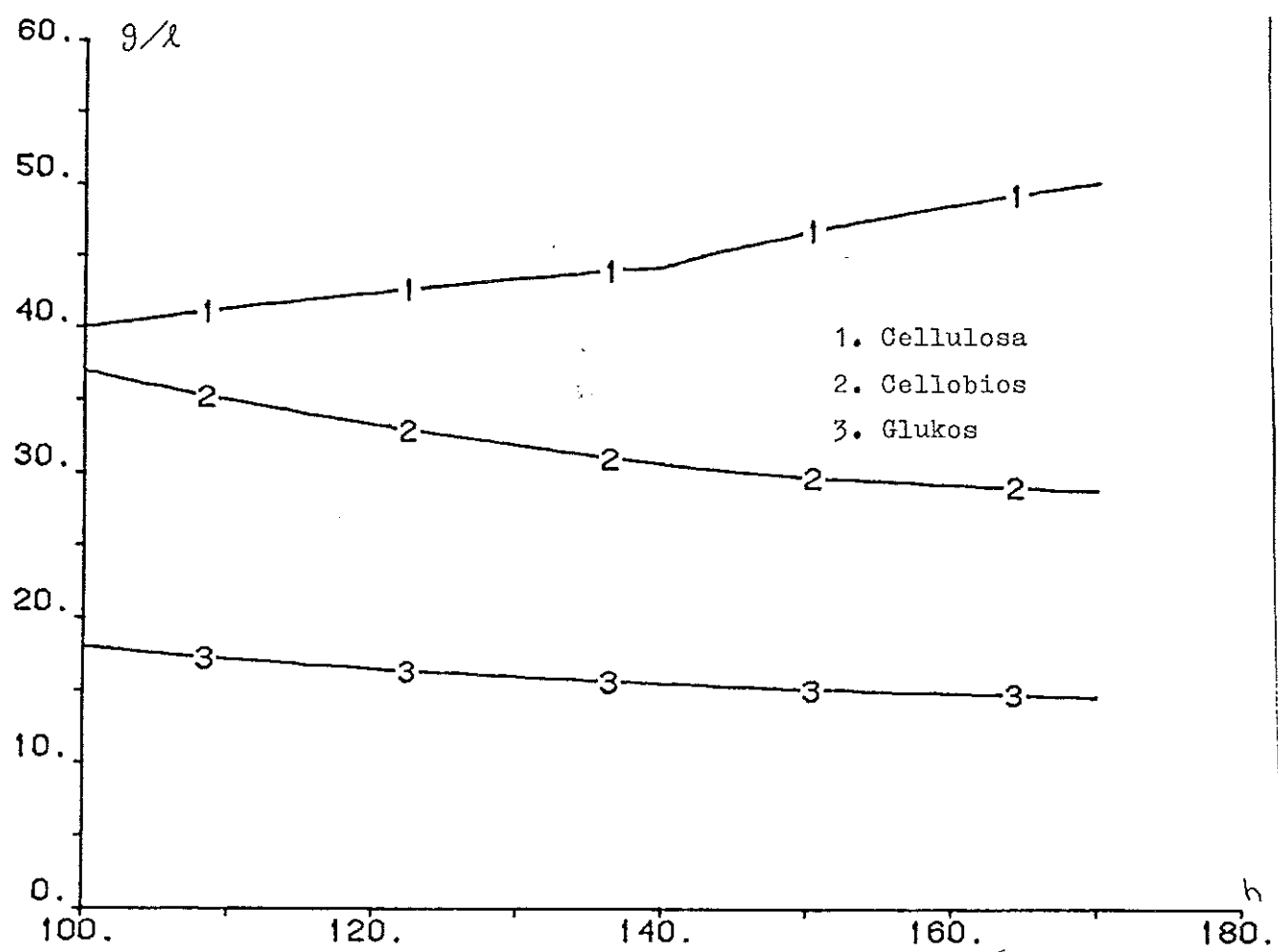


Fig. 3.8 Simulering av processmodellen med ACCM-kinetik.

Processreglering

4. PROCESSREGLERING

4.1 PROCESSREGLERING. EN ÖVERSIKT.

Volymsreglering

Processen kan delas upp i tre olika delar; tankreaktor(mixer), separator (settler) samt ultrafiltrering.

Volymsreglering av tanken sker enklast genom en nivåvakt i tanken som styr utflödet (Regulator R1, fig. 4.1). För att förbättra denna reglering kan framkoppling av störsignaler göras, men p.g.a. det stora antalet störsignaler, är det svårt att på ett så här tidigt stadium föreslå en lämplig sådan.

Separatorn har ett tillflöde och två främfloden. Ett exempel på reglering av separatorn är att med hjälp av naturlig avrinning styra nivån och toppfasflödet samt med hjälp av fasnivåmätning styra bottenfasflödet (Regulator R2, fig. 4.1). Mätning av fasnivån kan t.ex. göras konduktrometriskt, om faserna har olika ledningsförmåga. Ett annat alternativ kan vara optisk mätning, då de har olika ljusgenomsläppighet.

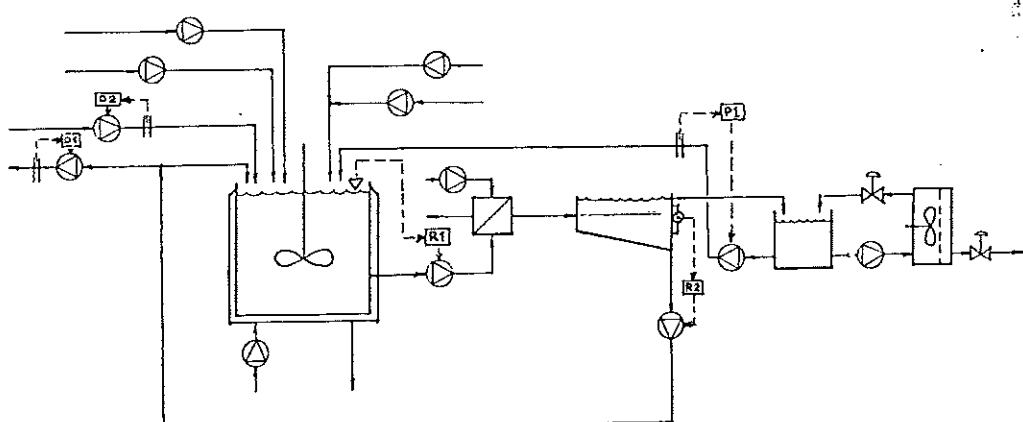


Fig. 4.1 Volymsreglering av tvåfas-systemet.

Den recirkulerande DEX-fasen ackumulerar icke-nerbrytbara ämnen. Därför måste viss avtappning ske, vilket kräver motsvarande tillflöde av ny DEX-fas. Dessa båda flöden måste naturligtvis regleras för att ej få oönskad fasfördelning, men en styrning av den ger också möjlighet att välja fasfördelning och avtappningsgrad (Regulator D1 resp. D2, fig. 4.1)

Ultrafiltreringen arbetar med högt flödesförhållande och tryckgradient över membranet. P.g.a. variationer hos flödet till UF-enheten samt att denna arbetar med mycket högre flöde än tillflödet, så krävs en buffertank. De processbetingelser som är intressanta för reglering är nivå i buffettank, arbetstryck samt flödesförhållandet.

Processreglering

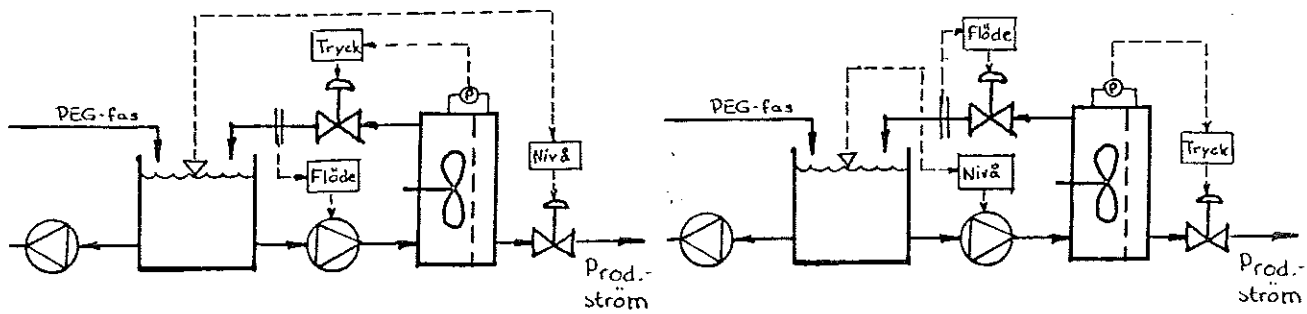


Fig. 4.2 Exempel på reglering av ultrafiltrering

Som kan ses i fig. 4.2 kan UF regleras på ett flertal olika sätt. Det kräver en ingående analys av processvariablene för att välja lämplig reglerstrategi.

Temperaturreglering

Reaktionen bör ske vid 40-50 °C medan separationen gynnas av lägre temperaturer t.ex. 20 °C. Detta kräver en temperaturreglering av tankreaktorn. D.v.s. flödesreglering av värmemediet med avseende på temperaturen i tanken (Regulator T1, fig. 4.3). Temperaturen vid separation regleras med hjälp av flödet hos kylmediet i värmeväxlaren (Regulator T2, fig 4.4).

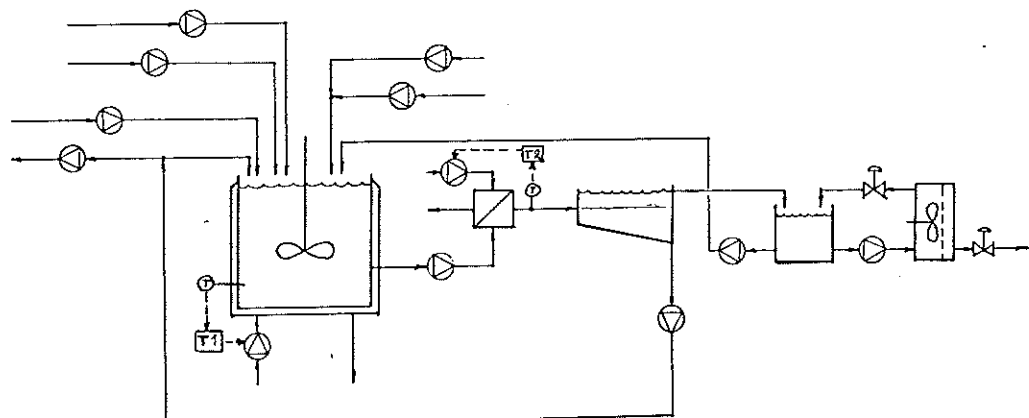


Fig. 4.3 Temperaturreglering

Koncentrationsreglering

Om man förutsätter att man har konstanta (reglerade) flöden och volymer, samt att man önskar hålla en viss produktion av glukos, krävs en reglering av dess koncentration i produktströmmen. Då man tidigare antagit att det ej sker någon reaktion utanför tanken, medför det att produktströmmen och tanken har samma koncentration (vid stationäritet).

Glukoshalten regleras antingen med hjälp av uppehållstiden eller celluloseskoncentrationen i tanken. Om flödet (uppehållstiden) hålls konstant återstår reglering med hjälp av celluloseshalten i tanken.

Processreglering

Om enzymaktiviteten antas vara konstant kan glukoskoncentrationen regleras med en enkel SISO-regulator (Single Input/Single Output) med cellulosaconcentrationen i tillflödet som styrsignal.

Enzymreglering

Den ovan diskuterade koncentrationsregleringen förutsatte att enzymaktiviteten är konstant. Detta är naturligtvis inte fallet vid kontinuerlig produktion under långa tider. Att direkt mäta enzymaktiviteter är mycket svårt och tidskrävande.

Det enda realistiska alternativet är att uppskatta eller rekonstruera enzymaktiviteten i tanken. Detta kan göras med en observerare som estimerar aktiviteten, vilken kan utnyttjas för att reglera produktionen.

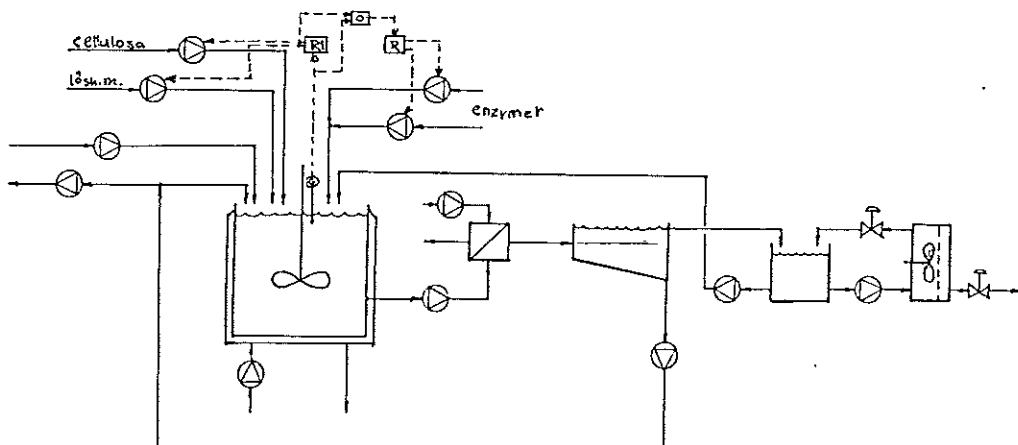


Fig. 4.4 Exempel på reglering av glukoshalten samt enzymaktiviteten.
(R1:Glukosregulator , O1:Enzymobserverare , R2:Enzymregulator)

Slutsats

Som redovisats ovan krävs en lång rad mer eller mindre kvalificerade reglerkretsar för den kontinuerliga processen. Dessa kan i hög grad förbättras t.ex. med framkoppling, samt modifiering av reglerstrategier för optimal reglering. De flesta reglerkretsarna är traditionella nivå-, flödes- och temperaturregleringar, vilka ej är speciellt intressanta på detta stadium av processutvecklingen. De mer speciella och unika reglerformerna är dock av desto större intresse. Nedan kommer därför endast koncentrations- och enzymregleringen att studeras mer ingående.

Processreglering

4.2 PROCESSANALYSSYSTEMET FIA-GLUKOS

Flow injection analysis - FIA

FIA bygger på att ett injicerat prov får passera en kolonn med immobiliseringade enzymer. Under passagen sker reaktioner specifika för de enzymer som finns i kolonnen. I vårt fall enzymer som reagerar med glukos. Efter kolonnen kommer det reagerade provet ut i form av ett färgkomplex som går att detektera med hjälp av en spektrofotometer. Vid glukosanalys användes två seriekopplade enzymkolonner med enzymerna glukosoxid och peroxidaz i nämnd ordning.

Dialysprobe

FIA-systemet kräver en ren lösning för att man ej skall skada eller sätta igen kolonnerna. För att erhålla detta utnyttjas en dialysprobe där molekylerna får diffundera genom ett membran, in i en buffertlösning. På detta sätt hålls cellulosa och makromolekyler borta från provlösningen.

Diffusion är mycket känslig för bl.a. temperatur, omrörning och viskositet, vilket medför att analyssystemet är känsligt för förändringar hos olika processbetingelser. Det har dock visat sig att systemet beter sig bra och har en god reproducerbarhet i både enkla och komplexa medier med konstanta yttre betingelser.

Dynamik och mätbrus

I processanalyssystemet kan man urskilja tre olika effekter som påverkar dynamiken. Den första åstadkommes av transportfödröjning i slangarna. Denna provtagningsfödröjning är proportionell mot flödet i FIA-systemet och varierar med valt koncentrationsområde. I de koncentrationsområdena som försöken gjordes uppskattades transportfödröjningen till 2.5 minuter. Den andra är diffusionen över membranet. Dynamiken kan beskrivas som en exponentialfunktion med en ungefärlig tidskonstant på 5 minuter.

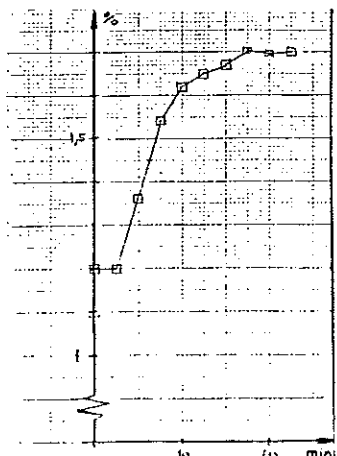


Fig. 4.5 Stegsvar

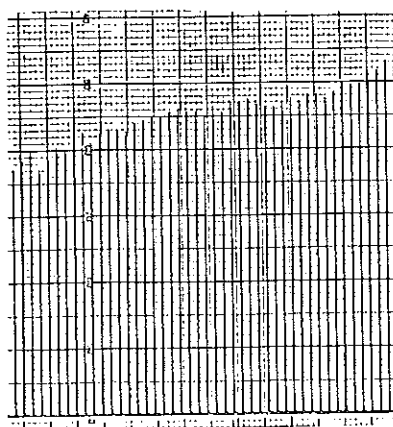


Fig. 4.6 Exempel på mätsignal

Mätsignalen kommer att brusa vilket orsakas av varierande betingelser vid

Processreglering

diffusionen. Bruset kan behandlas som ett glidande medelvärde (moving average) vilket medför att bruset kan filtreras bort.

Slutsats

Ett FIA-system med en dialysprobe har visat sig fungera bra och trots en ansenlig dynamik är detta mätsystem tillfredställande för reglering. Ovanstående mätsystem kan lätt inkludera analys av cellobios genom att ytterligare en kolonn med immobiliseringad β -glukosidas sätts in i systemet före de andra två.

4.3 GLUKOSREGLERING

I kapitel 4.1 konstaterades att reglering av glukoskoncentrationen görs enklast med en SISO-regulator som styr cellulosakoncentrationen i tillflödet. Att förverkliga denna reglering innebär att ytterligare två algoritmer måste tas fram. Detta p.g.a. att cellulosen och lösningsmedlet tillförs separat.

Den första algoritmen omvandlar cellulosakoncentrationen (styrsignal från regulatorn) till ett flödesförhållande.

$$c_{12} = (c_1 F_1 + c_2 F_2) / F_0$$

$$\text{antag } c_2 = 0 \Rightarrow c_{12} = c_1 * F_1 / F_0$$

$$\text{eller } \varphi = F_1 / F_0 = c_{12} / c_1$$

Den andra algoritmen omvandlar flödesförhållandet till två flöden.

$$F_1 = \varphi * F_0$$

$$F_2 = (1 + \varphi) * F_0$$

FIA-systemet lämnar en tidsdiskret mätsignal, vilket medför att regulatorn måste vara digital. Men eftersom att hydrolysen är långsam så är tidskontinuerlig design av den tidsdiskreta regulatorn godtagbar.

Processreglering

4.4 ENZYMREGLERING

Enligt kapitel 4.1 är det enda realistiska alternativet till direkt mätning av enzymaktiviteter, rekonstruktion av enzymaktiviteten i tanken med hjälp av glukosmätningen. Eftersom enzymatisk hydrolysis kräver flera olika enzymer uppstår ett nytt problem; att prediktera de olika enzymslagen.

En första lösning på detta problem är att alltid ha överskott av β -glukosidas så att enzymregleringen sker med avseende på cellulasererna. Rekonstruktion sker med hjälp av glukosmätningen och cellulosahalten i tanken eller rättare sagt cellulosakoncentrationen i tillflödet (styrsignal från glukosregulatorn). För ett värde på cellulosa- och glukoskoncentrationerna finns ett motsvarande värde på enzymaktiviteten.

$$\hat{e}_x = f_x(\text{cellulosa, glukos}) \quad (e_\beta = \text{konstant})$$

Det rekonstruerade värdet kan användas som en mätsignal till en "vanlig" regulator.

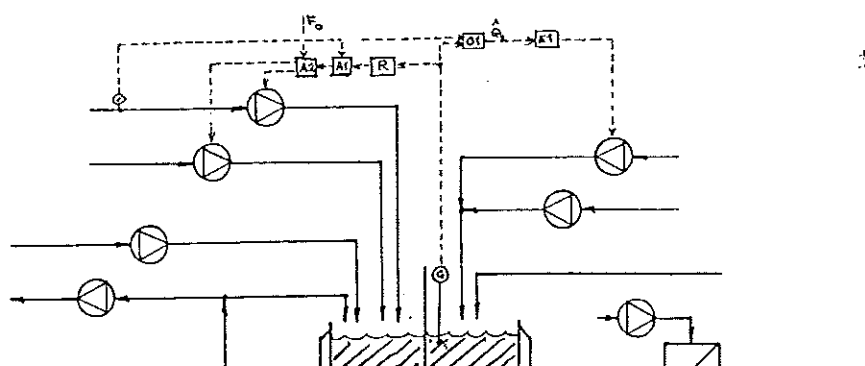


Fig. 4.7 Glukos- och cellulaserreglering vid enzymatisk hydrolysis
(R:Glukosregulator , A1:Algoritm ett , A2:Algoritm två
O1:Enzymobserverare (cellulaser) , E1:Enzymregulator)

Att styra processen enligt ovan har en stor nackdel i de stora β -glukosidas kostnader som ovanstående processalternativ innebär.

Genom att introducera ytterligare en observerare som rekonstruerar cellobiosaktiviteten minimeras även detta problem. Rekonstruktion kan göras genom att man mäter glukos- och cellobioskoncentrationerna i tanken. Likt tanken bakom FIA-systemet kan lätt modifieras för att klara av detta. Likt tanken bakom rekonstruktion av cellulasererna kan man uppskatta β -glukosidasaktiviteten.

$$\hat{e}_\beta = f_\beta(\text{cellobios, glukos})$$

Processreglering

En regulator kan utnyttja den uppskattade aktiviteten för att reglera β -glukosidasettillsatsen.

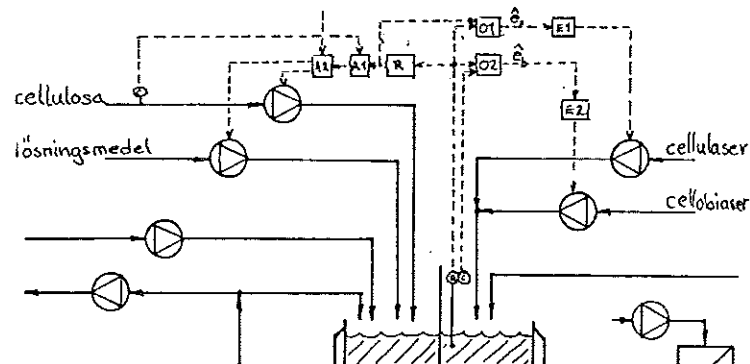


Fig. 4.8 Ytterligare en observerare för β -glukosidasreglering
är nödvändig för optimal drift.

(R:glukosreg., A1:algoritm 1, A2:algoritm 2
O1:cellulasobserverare, E1:cellulasaktivitetsreg.
O2:cellobiasobserverare, E2:cellobiasaktivitetsreg.)

Enzymerna som är temperaturkänsliga och ej går att lagra någon längre tid, tillverkas troligen satsvis parallellt med hydrolysen. Tekniskt sett kan det vara nödvändigt att pulsmodulera enzymregulatorerna så att enzymtillsatser sker satsvis.

Processreglering

4.5 ETT ÖVERGRIPANDE KONTROLLSYSTEM

Aven om man förutsätter att de reglerkretsar som tidigare diskuterats går att förverkliga och att de klarar av att reglera processen, då kommer regleringen att bete sig konstigt vid en drastisk störning utifrån, t.ex. då andelen icke nedbrytbar cellulosa ökar i tillflödet.

När andelen nedbrytbar cellulosa minskar kommer glukoskoncentrationen att sjunka. Det innebär att regulatorn svarar med att öka cellulosatillförseln. Denna störning kommer enzymobserverarna att uppfatta som om enzymaktiviteten minskat och vill naturligtvis kompensera detta.

Om detta får fortgå under en lång tid fylls hela systemet med enzymer och svårnedbrytbar cellulosa.

En sådan störning kan inte regleras bort, men man kan lindra konsekvenserna av den genom att införa ett övergripande kontrollsysteem. Det bör ha som uppgift att kontrollera regulatorernas styrsignaler. I detta fall bör kontrollsysteemet gå in och begränsa eller stänga av olika regulatorer då flera styrsignaler skulle öka utanför satta gränser. Även vissa åtgärdspaket skulle kopplas in automatiskt, t.ex. i detta fall öka avtappningen.

Problemet vid denna typ av störning blir att skilja mellan brist på enzym och ändrad andel svårnedbrytbar cellulosa. Genom att studera dynamiken vid enzymtillsatser kan man uppskatta enzym/nedbrytbar cellulosa-förhållandet. Snabb dynamik indikerar enzymbrist medan långsam och ingen dynamik betyder brist på nedbrytbar cellulosa.

Om det av någon anledning skulle vara mycket låg enzymaktivitet i enzymtillsatsen, kommer dynamiken att vara långsam, och om inte vet enzymaktiviteten, kommer ovanstående kontrollmekanism att ge fel svar. Detta medför att man måste känna till enzymaktiviteten i tillsatsen.

En sådan lösning kan men kalla en rekonstruktion av nedbrytbar cellulosa. Genom att mäta tillsatsen av enzym och samtidigt studera dynamiken vid cellulosanedbrytningen (d.v.s. styrsignalen från glukosregulatorn), kan man uppskatta andelen nedbrytbar och icke nedbrytbar cellulosa.

Prediktionen av andelen nedbrytbar resp. icke nedbrytbar cellulosa kan användas som underlag för åtgärder som föreslagits tidigare.

5. PROCESSTEKNISKA ASPEKTER

Koncentrationsbegränsningar

I kapitel 3 kommenterades praktiska begränsningar i nämnda processval. Den maximala cellulosakoncentrationen i tanken begränsas alltså av motsvarande koncentration i den recirkulerade DEX-fasen.

Celllobios som är det ämne som inhiberar hydrolysen starkast, bör naturligtvis minimeras. Det innebär att β -glukosidasaktiviteten bör hållas relativt hög.

Glukosan inhiberar visserligen hydrolysen, men har inte alls samma kritiska inverkan som celllobios. Av ekonomiska skäl bör ej glukoskoncentrationen vara för låg, då det innebär höga kostnader vid efterföljande koncentrationssteg.

Processvariablerna eb/ex och ex/s

Med simuleringarna i kapitel 2 som bakgrund har man uppskattat β -glukosidasaktiviteten i Celluclast till ca. 1 IU/ml, vilket kan jämföras med Novozym som har ca. 500 IU/ml.

Genom att utnyttja SIMNON-simuleringar kan man mycket lätt ta fram kurvor t.ex. med reaktionshastigheten som funktion av någon parameter. Detta kan utnyttjas för att bestämma ett riktmärke på eb/ex. Som visas i fig. 5.1 är förhållandet under 0.02 IU/FPU helt förkastliga p.g.a. den snabbt låga reaktionshastigheten, orsakat av inhibering. Till omsättningar upp till 80% kan ett riktvärde vara 0.2-0.3 IU/FPU (eller 5-10% (Novozym/Celluclast))

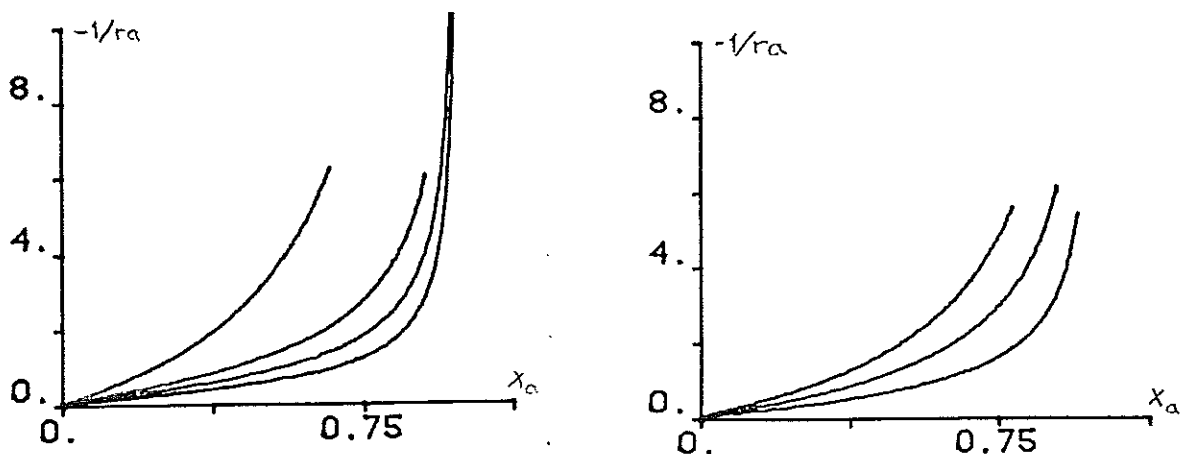


Fig. 5.1 $-1/ra$ (ra = reaktionshastigheten) som funktion av x_a
 $(x_a = (s_0 - s)/s_0 = \text{omsättningen})$
a) $ex=2$ FPU/ml, $eb/ex=0.01, 0.02, 0.2$ samt 0.4 (åt höger)
b) $eb/ex=0.04$, $ex = 2, 4$ samt 10 FPU/ml

En parameter som beskriver hydrolysförloppets utseende är ex/s -förhållandet. Samma ex/s , men olika cellulosakoncentrationer, ger kvalitativt samma reaktionsförlopp.

Processtekniska aspekter

Ur kurvorna i figur 5.1 kan man även utläsa uppehållstider för vald reaktortyp. I figur 5.2 visas hur man erhåller uppehållstiden för en tank- resp. tubreaktor för samma reaktionsbetingelser.

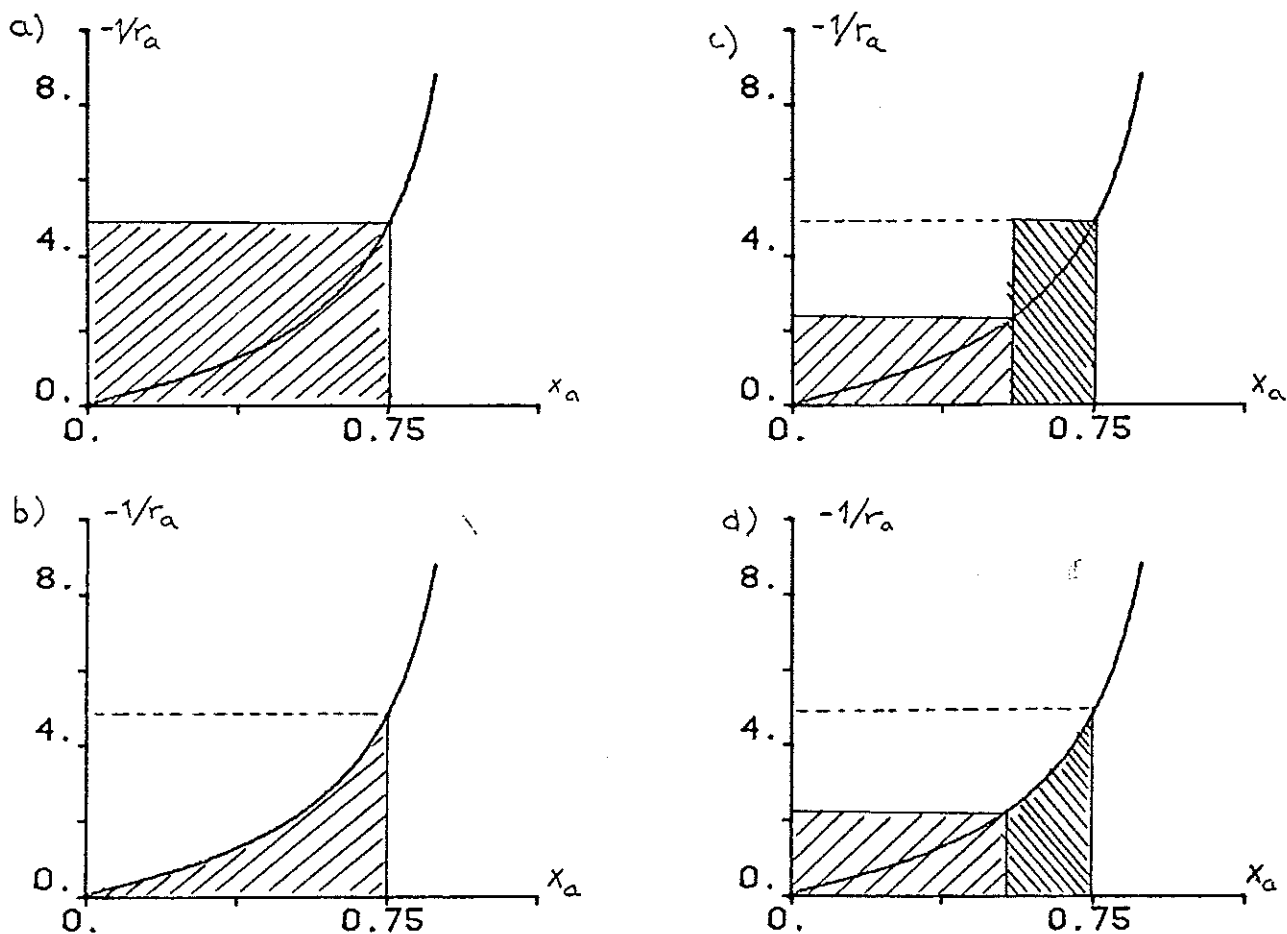


Fig. 5.2 Uppehållstider för olika reaktorsystem

Den streckade arean representerar $V/F_{ap} = \theta/C_{ao}$ (uppehållstid/cellulosakonc. i tillflödet)

- a) en tankreaktor
- b) en tubreaktor
- c) två seriekopplade tankar
- d) seriekopplad tank och tub

Driftpunkt kan väljas på två olika sätt; genom att variera antingen cellulasaktivitet (d.v.s. flytta kurvan) eller uppehållstiden (d.v.s. reaktortyp och/eller reaktorvolymer).

Reaktionssteget vid enzymatisk hydrolysis kan förbättras med en tubreaktor eller med en tankserie jämfört med en tank.

APPENDIX 1

APPENDIX I Simnonprogram ; Kinetikmodeller

- a) CGKIN - Cellobioshydrolysis (enligt ref. 11)
- b) SSM - 'Shrinking Site Model' (enligt ref. 9)
- c) HCH-1 - 'HCH-1' modellen (enligt ref. 18)
- d) ACCM - Modell framtagen av Blanch et al (ref. 5)

CONTINUOUS SYSTEM CGKIN

STATE g c
DER dg dc

dg = Kb*EB*c/((1+g/i1)*c+(1+g/i2)*Km)
dc ==dg

Kb:1.25
Km:.856
i1:2.7
i2:0.36

EB:43
c:13.7
END

CONTINUOUS SYSTEM SSM

STATE s g c

DER ds dg dc

```
ds = -kx*s^(4/3)*(ex/(ex+alfa))*(ix/(ix+c))
dg = k2*eb*c/(km*(1+g/i2)+c*(1+g/i1))
dc = -ds-dg
```

rs = c+g

```
kx:0.2
alfa:1.05
ix:0.5
k2:1.25
km:0.856
i1:2.7
i2:0.36
```

```
s:50           "initial concentration
ex:2
eb:1
```

END

```
CONTINUOUS SYSTEM HCHI
STATE s c g
DER ds dc dg

ds = -k1*s*ex/((alfa+fi+epi*ex)*(1+beta*c))
dc = -ds-dg
dg = kb*eb*c/(km*(1+g/i2)+c*(1+g/i1))

fi1=s-alfa-epi*ex
fi2=(fi1+sqrt(abs(fi1)↑2+4*alfa*s))/2
fi=if fi2>0 then fi2 else 0

rs = c+g

k1:26.3
alfa:8.97
beta:0.45
epi:34.8
kb:1.25
km:.856
i1:2.7
i2:.36
s:50           "initial concentration
ex:2
eb:1.5

END
```

CONTINUOUS SYSTEM ACCM

STATE sa sc c g
DER dsa dsc dc dg
TIME t

dsa = if epia > 0 then -ka*epia*(1/(1+ki*c)) else 0
dsc = if epic > 0 then -kc*epic else 0
dc = -dsa - dsc - dg
dg = kb*eb*c/((1+g/i1)*c + (1+g/i2)*km)

ba = betaA*gammaA + alfaA + e0
gammaA = if sa > 0 then fa*sa^{1/3}*sa^{2/3} else 0
ca = betaA*gammaA * e0
epia = (ba - sqrt(ba*ba - 4*ca))/2

bc = betaC*gammaC + alfaC + e0
gammaC = if sc > 0 then fc*sc^{1/3}*sc^{2/3} else 0
cc = betaC*gammaC * e0
epic = (bc - sqrt(bc*bc - 4*cc))/2

s = sc + sa

ka:70 "amorf cellulosa hydrolys

betaA:41.4

ki:0.40

alfaA:314

fa:0.0375

kc:0.3

"kristallin cellulosa hydrolys

betaC:203.4

fc:0.0375

kb:75

"celllobios-hydrolys

i1:2.7

i2:0.36

km:0.856

alfaC:1050

sa:25 "initial konzentration

sa0:25

sc:40

sc0:40

e0:2

eb:5

END

APPENDIX II Simnonprogram ; Processmodeller

- a) pSEM - processmodell med 'SEM'-kinetik.
 - pSEMm : tankreaktor
 - pSEMs : separator
 - pSEMc : 'connecting system'

- b) pACCM - processmodell med 'ACCM'-kinetik
 - pACCMm : tankreaktor
 - pACCMs : separator
 - pACCMc : 'connecting system'

CONTINUOUS SYSTEM pSSMM

INPUT F fi sf exf ebf ssb cs gs exsb exst ebsb ebst
OUTPUT sm cm gm exm ebm

STATE s c g ex eb
DER ds dc dg dex deb

ds = F*(sf+(1+fi)*ssb-2*(1+fi)*s)/Vm +kins
dc = F*((fi+i1+fi)*cs-2*(1+fi)*c)/Vm +king
dg = F*((fi+i1+fi)*gs-2*(1+fi)*g)/Vm +king
dex = F*(exf+fi*exst+(1+fi)*exsb-2*(1+fi)*ex)/Vm +deakex
deb = F*(ebf+fi*ebst+(1+fi)*ebsb-2*(1+fi)*eb)/Vm +deakeb

kins = -kx*s†(4/3)*(ex/(ex+alfa))*(ix/(ix+c))
king = kb*eb*c/((1+g/i1)*c+(1+g/i2)*km)
king = -kins-king

sm=s
cm=c
gm=g
exm=ex
ebm=eb

deakex:=0 "enzymdeaktivering
deakeb:=0

kx:=0.2 "cellulosa hydrolys
alfa:=1.05
ix:=0.5
kb:=1.25 "celllobioshydrolys
i1:=2.7
i2:=0.36
km:=0.856

s:=60 "initialkoncentrationer
ex:=2
eb:=1
Vm:=1
END

CONTINUOUS SYSTEM pSSMs

INPUT F fi sm cm gm exm ebm
OUTPUT ssb cs gs exsb exst ebsb ebst

STATE s c g ex eb
DER ds dc dg dex deb

ds = F*(2*(1+fi)*sm-(1+fi)*s)*ff/Vs
dc = F*(2*(1+fi)*cm-2*(1+fi)*c)/Vs
dg = F*(2*(1+fi)*gm-2*(1+fi)*g)/Vs
dex = F*(2*(1+fi)*exm-(1+fi)*exsb-(1+fi)*exst)/Vs
deb = F*(2*(1+fi)*ebm-(1+fi)*ebsb-(1+fi)*ebst)/Vs

exsb=ex/((1-ff)+kex*ff)
exst=kex*exsb
ebsb=eb/((1-ff)+keb*ff)
ebst=keb*ebsb

ssb=s
cs=c
gs=g

kex:0.16
keb:0.02
ff:0.5
Vs:0.25

END

CONNECTING SYSTEM pSSMc

TIME t

F[PSSMM]=FC
F[PSSMS]=FC
fi[PSSMM]=fic
fi[PSSMS]=fic
sf[PSSMM]=sfc
exf[PSSMM]=exfc
ebf[PSSMM]=ebfc

ssb[PSSMM]=ssb[PSSMS]
cs[PSSMM]=cs[PSSMS]
gs[PSSMM]=gs[PSSMS]
exst[PSSMM]=exst[PSSMS]
exsb[PSSMM]=exsb[PSSMS]
ebst[PSSMM]=ebst[PSSMS]
ebsb[PSSMM]=ebsb[PSSMS]

sm[PSSMS]=sm[PSSMM]
cm[PSSMS]=cm[PSSMM]
gm[PSSMS]=gm[PSSMM]
exm[PSSMS]=exm[PSSMM]
ebm[PSSMS]=ebm[PSSMM]

exfc= if t>241 then 0 else if t<240 then 0 else 100
ebfc= if t>268 then 0 else if t<267 then 0 else 50
sfc= if t<140 then 44 else 59

FC:0.015
fic:0

END

CONTINUOUS SYSTEM pACCMm

INPUT F fi ccf acf exf ebf ccsb acsb cs gs exsb exst ebsb ebst
OUTPUT ccm acm cm gm exm ebm

STATE cc ac c g ex eb
DER dcc dac dc dg dex deb

dcc = F*(ccf+(1+fi)*ccsb-2*(1+fi)*cc)/Vm + kincc
dac = F*(acf+(1+fi)*acsb-2*(1+fi)*ac)/Vm + kinac
dc = F*((fi+1+fi)*cs-2*(1+fi)*c)/Vm + kinc
dg = F*((fi+1+fi)*gs-2*(1+fi)*g)/Vm + king
dex = F*(exf+fi*exst+(1+fi)*exsb-2*(1+fi)*ex)/Vm + deakex
deb = F*(ebf+fi*ebst+(1+fi)*ebsb-2*(1+fi)*eb)/Vm + deakeb

kincc = if epic>0 then -kc*epic else 0
kinac = if epia>0 then -ka*epia*(i/(i+ki*c)) else 0
king = kb*eb*c/((1+g/i1)*c+(1+g/i2)*km)
kinc = -kincc-kinac-king

b1=betaA*gammaA+alfaA+ex
gammaA= if ac>0 then fa*ac0↑(1/3)*ac↑(2/3) else 0
b2=betaA*gammaA*ex
epia=(b1-sqrt(b1↑2-4*b2))/2

a1=betaC*gammaC+alfaC+ex
gammaC= if cc>0 then fa*cc0↑(1/3)*cc↑(2/3) else 0
a2=betaC*gammaC*ex
epic=(a1-sqrt(a1↑2-4*a2))/2

cell=ac+cc

ccm=cc
acm=ac
cm=c
gm=g
exm=ex
ebm=eb

deakex:0 "enzymdeaktivering
deakeb:0

ka:70 "amorf cellulosa hydrolys
betaA:41.4
ki:0.4
alfaA:314
fa:0.0375
kc:0.3 "kristallin cellulosa hydrolys
betaC:203.4
alfaC:1050
kb:75 "cellobioshydrolys
i1:2.7
i2:0.36
km:0.856

ac:30 "initialkoncentrationer
aco:30
cc:30
cco:30
ex:2
eb:0.015

Vm:1

END

CONTINUOUS SYSTEM pACCMs

INPUT F fi ccm acm cm gm exm ebm
OUTPUT ccsb acsb cs gs exsb exst ebsb ebst

STATE cc ac c g ex eb
DER dcc dac dc dg dex deb

dcc = F*(2*(1+fi)*ccm-(1+fi)*cc)*ff/Vs
dac = F*(2*(1+fi)*acm-(1+fi)*ac)*ff/Vs
dc = F*(2*(1+fi)*cm-2*(1+fi)*c)/Vs
dg = F*(2*(1+fi)*gm-2*(1+fi)*g)/Vs
dex = F*(2*(1+fi)*exm-(1+fi)*exsb-(1+fi)*exst)/Vs
deb = F*(2*(1+fi)*ebm-(1+fi)*ebsb-(1+fi)*ebst)/Vs

exsb=ex/((1-ff)+kex*ff)
exst=kex*exsb
ebsb=eb/((1-ff)+keb*ff)
ebst=keb*ebsb

ccsb=cc
acsb=ac
cs=c
gs=g

cell=cc+ac

kex:0.16
keb:0.02
ff:0.5
Vs:0.25

END

CONNECTING SYSTEM pACCMS

TIME t

F[PACCM] = FC
F[PACCM] = FC
fi[PACCM] = fic
fi[PACCM] = fic
ccf[PACCM] = ccf
acf[PACCM] = acf
exf[PACCM] = exf
ebf[PACCM] = ebf

ccsb[PACCM] = ccsb[PACCM]
acsb[PACCM] = acsb[PACCM]
cs[PACCM] = cs[PACCM]
gs[PACCM] = gs[PACCM]
exst[PACCM] = exst[PACCM]
exsb[PACCM] = exsb[PACCM]
ebst[PACCM] = ebst[PACCM]
ebsb[PACCM] = ebsb[PACCM]

com[PACCM] = com[PACCM]
acm[PACCM] = acm[PACCM]
cm[PACCM] = cm[PACCM]
gm[PACCM] = gm[PACCM]
exm[PACCM] = exm[PACCM]
ebm[PACCM] = ebm[PACCM]

exfc = if t > 241 then 0 else if t < 240 then 0 else 100
ebfc = if t > 268 then 0 else if t < 267 then 0 else 2.5
ccfc = if t < 140 then 21 else 28
acf = if t < 140 then 23 else 31

FC=0.015
fic=0

END

Nomenklatur

NOMENKLATUR.

Allmänna.

| | |
|------------------|-------------------------------|
| E_1, E_2 | Enskilda cellulaser |
| E^x, E_b | Cellulaser |
| E^a, E_b | Cellobiaser |
| E^a | Adsorberad enzym (cellulaser) |
| C_a, \max, K_a | Adsorptionskonstanter |
| C | Cellulosa |
| C, G_2 | Cellobios |
| G^n | Glukosoligomerer |
| G | Glukos |

Celllobioshydrolys.

| | |
|------------|-----------------------------|
| E^* | Cellobiaser |
| E | Cellobias/Cellobios-komplex |
| k^b | Hastighetskonstant |
| $K^{i, 1}$ | Inhiberingskonstant |
| $K^{i, 2}$ | Inhiberingskonstant |
| K_m | Michaelis-Menten konstanter |

SEM.

| | |
|-----------------|-----------------------|
| θ | Aktiva centra |
| η | Aktiva centra/ytenhet |
| i | Inhiberingsterm |
| k_1, K_2, K_3 | Hastighetskonstanter |
| I^2 | Inhiberingskonstant |
| α | Adsorptionskonstant |

HCH-1.

| | |
|------------------|-------------------------------|
| E^f | Fritt enzym |
| E^a | Adsorberad enzym |
| G^f | Fritt aktivt centra |
| G^x | Blockerat centra |
| $E\bar{G}$ | Enzym/centra-komplex |
| G^x | Produkt (cellobios) |
| $G^s f, G^s E^a$ | Inhiberade enzymer |
| $G^s EG$ | Produktinhiberat komplex |
| K^s | Hastighetskonstant |
| β | Inhiberingskonstant |
| δ | Adsorptionskonstant |
| η | Komplexbildningskonstant |
| ϵ | Andelen upptagna centra |
| Φ | Andelen fria cellulosa centra |

ACCM.

| | |
|-------|----------------------|
| E_c | Cellulaser |
| s_a | Amorf cellulosa |
| s_c | Kristallin cellulosa |

Nomenklatur

| | |
|---------------|--|
| ξ_a | Amorf cellulosa/enzym-komplex |
| $\xi_a^C G_2$ | Kristallin cellulosa/enzym-komplex |
| r_a | Produktinhibering av amorf cellulosa/enzym-komplex |
| r_a | Reaktionshastighet, kristallin cellulosa |
| K_C | Reaktionshastighet, amorf cellulosa |
| K_I | Inhiberingskonstant, amorf cellulosa |
| k_a | Hastighetskonstant, amorf cellulosa |
| k_c | Hastighetskonstant, kristallin cellulosa |

kap 3.

| | |
|---|--|
| F | Tillflöde, tank |
| R | Frånflöde, tank eller tillflöde, separator |
| T | Recirkulerande toppfasflöde |
| B | Recirkulerande bottenfasflöde |
| P | Produktflöde |

Referenser

REFERENSER

1. Buchholz K., Puls J., Gödelmann B. och Dietrichs H.H.: Hydrolysis of cellulosic wastes. Process Biochem Dec/Jan 80-81
2. Aly G. och Wittenmark B.: Dynamic behaviour of mixer-settlers. II: Mathematical models and identification methods. 1972 J Appl Chem Biotechnol
3. Aly G.: Dynamic behaviour of mixer-settlers: Applicability of orthogonal collocation method. 1982 Trans I ChemE
4. Lutzen N.W. et al: Cellulases and their application in the conversion of lignocellulose to fermentable sugars. 1983 Phil Trans R Soc ,London B 300
5. Wald S., Wilke C.R. och Blanch H.W.: Kinetics of the enzymatic hydrolysis of cellulose. 1984. Biotech and Bioeng 26
6. Tjerneld F. et al : Enzymatic hydrolysis of cellulose in aqueous two-phase systems. I: Partition of celluloses from *Trichoderma reesei*.
7. Lee J.H., Fagan R.J. och Rogers P.L. : Continuous simultaneous saccharification and fermentation of starch using *Zymomonas mobilis*, 1983, Biotech and Bioeng 25
8. Humphrey A.E.: The use of computers in fermentation system, Proc Biochem., marsh, 1977,
9. Humphrey A.E., Moreira A., Armiger W. och Zabriskie D.: Production of Single cell protein from cellulose wastes, Biotech. Bioeng. Symp. 7, 45-64, 1977
10. Tjerneld F.,Persson I.,Albertsson P-A och Hahn-Hägerdal B.:Enzymatic hydrolysis of cellulose in aqueous two-phase systems. II: Semi-continuos conversion of a model substrate, Solka Floc BW 200.
11. Gong C-S,Ladisch M.R. och Tsao G.T.: Cellobiase from *Trichoderma viride*: Purification, properties, kinetics and mechanism. Biotech. Bioeng. XIX, 959 ,1977,
12. Tangni S.K., Blanch H.W. och Wilke C.R.: Enhanced production of cellulase, hemicellulase and β -glukosidase by *Trichoderma reesei*. Biotech. Bioeng. XXIII, 1837, (1981)
13. Wilke C.R.,Yang R.D.,Sciamanna A.F. och Freitas R.P.: Raw materials evaluation and process development studies for conversion of biomass to sugar and ethanol. Biotech. Bioeng. XXIII, 163, (1981)
14. Mandenius C.F,Danielsson B. och Mattiasson B.: Process control of an ethanol fermentation with an enzym thermistor as a sucrose sensor. Biotechnol. letters. 313 , 11, 629, (1981)

Referenser

15. Mandenius C.F., Danielsson B. och Mattiasson B.: Evaluation of a dialys probe for contiouos sampling in fermentors and complex media. Anal. Chim (84), Acta vol. 163.
16. Wood T.M.: Properties and model of action of cellulases. Biotecknol. Bioeng., 5, 111 (1975)
17. Holtzapple M.T., Caram H.S. och Humphrey A.E. : Determining the inhibition constants in the HCH-1 model of cellulose hydrolysis. Biotechnol. Bioeng. vol. XXVI, 753 (1984)
18. Holtzapple M.T., Caram H.S. och Humphrey A.E. : The HCH-1 model of enzymatic cellulose hydrolysis. Biotechnol. Bioeng. vol XXVI, 775 (1984)
19. Aström K-J, A Simnon tutorial (okt 1992). Dept. of Automatic Control, Lund Institute of Technology, Lund, Sweden,